

**ЎЗБЕКИСТОН РЕСПУБЛИКАСИ ОЛИЙ ВА ЎРТА МАХСУС
ТАЪЛИМ ВАЗИРЛИГИ**

**МИРЗО УЛУҒБЕК НОМИДАГИ
ЎЗБЕКИСТОН МИЛЛИЙ УНИВЕРСИТЕТИ**

Қўл ёзма ҳуқуқида
УДК 519.8,531

АБДУРАИМОВ ДОСТОНБЕК ЭГАМНАЗАР ЎГЛИ

**Трансверсал изотроп жисмлар учун икки ўлчовли
термоэластик боғлиқ масалани сонли моделлаштириш**

**5A330201- Компьютер тизимлари ва уларининг дастурий таъминоти
(дастурий таъминот негизида)**

**Магистр
академик даражасини олиш учун ёзилган**

ДИССЕРТАЦИЯ

**Илмий раҳбар:
ф-м.ф.н. Адамбаев У.Э.**

МУНДАРИЖА

КИРИШ	3
I-БОБ. ТЕРМОЭЛАСТИК МАСАЛАСИНинг ҚҮЙИЛИШИ	9
1.1. Анизотроп жисмлар термоэластиклигининг асосий муносабатлари..	9
1.2. Боғлиқ ва боғлиқ бўлмаган термоэластик масалалар	11
1.3. Изотроп ва анизотроп жисмлар учун термоэластик боғлиқ масалалар	14
1.4. Трансверсал изотроп жисмлар учун икки ўлчовли термоэластик боғлиқ масаланинг қўйилиши	27
I-боб бўйича хулоса.....	30
II-БОБ. ТЕРМОЭЛАСТИК БОҒЛИҚ МАСАЛАЛАРНИ ЕЧИШГА ЧЕКЛИ АЙИРМАЛИ СХЕМАЛАРНИНГ ТАДБИҚИ	31
2.1. Ошкор ва ошкормас айирмали схемалар.	31
2.2. Трансверсал изотроп жисмлар учун икки ўлчовли термоэластик масалага ошкор ва ошкормас айирмали схемаларнинг тадбиқи	34
2.3. Трансверсал изотроп жисмлар учун икки ўлчовли термоэластик масалани чекли айирмалар усули билан сонли ечиш	38
II-боб бўйича хулоса	42
III-БОБ. АНИЗОТРОП ЖИСМЛАР УЧУН ИККИ ЎЛЧОВЛИ ТЕРМОЭЛАСИК БОҒЛИҚ МАСАЛАНИ СОНЛИ ЕЧИШНИНГ ПРОГРАММА ТАЪМИНОТИ	43
3.1. Дастурий таъминотнинг асосий функциялар тавсифи	43
3.2. Дастурий таъминотдан фойдаланиш	46
3.3. Киритилувчи константалар.....	50
3.4. Ҳисоблаш эксперименти.....	52
III-боб бўйича хулоса.....	58
ХУЛОСА	59
ФОЙДАЛАНИЛГАН АДАБИЁТЛАР	60
ИЛОВАЛАР	63

КИРИШ

Илм-фан тобора ривожланиб бораётган бугунги кунда инсониятнинг ахборот олишга бўлган еҳтиёжи ҳам ортмоқда. Ахборотлашган жамият тезлик билан шаклланиб ривожланмоқда. Ахборот дунёсида давлат чегаралари деган тушунча йўқолиб бормоқда. Жаҳон компьютер тармоғи давлат бошқарувини тубдан ўзгартирмоқда. Кадрлар тайёрлаш миллий дастурини амалда жорий етиш натижасида республикамиз худудидаги таълим тизимида қатор муҳим кўзга кўринарли ўзгаришлар юз берди.

Ахборот телекоммуникация технологияларининг ривожланиши ҳамда уни таълим тизимига жорий етиш борасида республикамизда бир қатор қонунлар, қарорлар ва давлат дастурлари қабул қилинди. Буларга Ўзбекистон Республикасининг “Таълим тўғрисида”ги қонуни [1], “Кадрлар тайёрлаш миллий дастури” [2], Ўзбекистон Республикасинининг “Ахборотлаштириш тўғрисида” ги [3] қонунларини, “Олий малакали илмий ва илмий-педагог кадрлар тайёрлаш ва аттестациядан ўтказиш тизимини янада такомиллаштириш тўғрисида” ги Ўзбекистон Республикаси Президентининг фармони [5], “Ўзбекистон Республикаси Олий таълим тизимида магистратура фаолиятини янада такомиллаштириш, унинг самарадорлигини ошириш чора-тадбирлари тўғрисида” ги Ўзбекистон Республикаси Вазирлар Маҳкамасининг [6] қарорларини мисол қилиб келтириш мумкин.

Ахборотлаштириш соҳасидаги давлат сиёсати ахборот ресурслари, ахборот технологиялари ва ахборот тизимларини ривожлантириш ҳамда такомиллаштиришнинг замонавий жаҳон тамойилларини ҳисобга олган ҳолда миллий ахборот тизимини яратишга қаратилган [4].

Буларнинг ижроси сифатида Ўзбекистон Республикасида таълим тизимига янги инновацион технологияларини жорий етиш жадал суръатларда олиб борилаётганини айтишимиз мумкин.

Хозирги даврда компьютер технологияларининг жадал суратлар билан ривожланиши, янгидан-янги амалий масалаларни сонли ечишга имкон беради.

Аввалдан берилган хоссаларга эга бўлган мураккаб конфигурацияга эга материалларни яратиш ва улардан ишлаб чиқаришнинг турли соҳаларида фойдаланиш долзарб илмий техникавий муаммолардан бири ҳисобланади.

Хозирги қунда мураккаб конфигурациялик материаллар турли соҳаларда, масалан, космонавтика, атом энергетикасида, самолётсозлик, машинасозлик, автомобилсозлик, қурилиш, медицина ва турли соҳаларда кенг фойдаланилмоқда.

Мазкур магистрлик диссертация ишида Трансверсал изотроп жисмлар учун динамик термоэластик боғлиқ масала қаралган. Бу чегаравий масала гиперболик типга тегишли ҳаракат тенгламаси ва параболик типга тегишли иссиқлик ўтказувчанлик тенгламаларидан ташкил топган бўлиб, тенгламаларда кўчиш функцияси ва температура ноъмалум сифатида қатнашади. Қаралаётган масала учун ошкор ва ошкормас типдаги чекли айирмали схемалар қурилган.

Умумий ҳолда термоэластик боғлиқ чегаравий масала ҳаракат тенгламаси, термоэластикликнинг аниқловчи муносабати, Коши муносабати, иссиқлик ўтказувчанлик тенгламаси ҳамда мос бошланғич ва чегаравий шартлардан иборат бўлади. Эслатиб ўтамиз, кўчишларда ёзилган ҳаракат тенгламаси ва иссиқлик ўтказувчанлик тенгламаси ўзаро боғлиқдир, яъни температура координата ва вақтга боғлиқ функция сифатида ҳаракат тенгламасида, кўчишлар эса иссиқлик ўтказувчанлик тенгламасида иштирок этади.

Агар жисмнинг ҳаракатига таъсир қилувчи ташқи омиллар вақт бўйича жуда секин ўзгарса, у ҳолда ҳаракат тенгламасидаги инерцион аъзоларни этиборга олмаса ҳам бўлади ва масала квазистатик масала сифатида қаралади.

Магистрлик диссертацияси мавзусининг долзарблиги: сўнгги пайтларда ишлаб чиқаришнинг жуда кўп соҳаларида композицион материаллардан фойдаланиш замон талабига айланиб бормоқда. Конструкциялар ва улар элементларининг термоэластик ҳолатларини математик моделлаштириш ва сонли ечимларини аниқлаш долзарб муаммоларидандир. Композитцион материалларни математик моделлаштиришда материал бир жинсли ва анизотроп материал билан алмаштирилади. Термоэластик масалалар қўйилишига қараб боғлиқ ва боғлиқ бўлмаган чегаравий масалаларга ажralади. Умумий ҳолда боғлиқ масалада қаттиқ жисмнинг ҳаракат тенгламалари иссиқлик ўтказувчанлик тенгламалари билан биргаликда қаралади. Шуни таъкидлаш лозимки температура ва унинг ҳосиласи ҳаракат тенгламасида қатнашади, деформация эса иссиқлик ўтказувчанлик тенгламасига номалум сифатида киради. Боғлиқ масалаларни математик моделларини ва уларни сонли ечиш алгоритмларини ўрганиш, олинган сонли натижаларга асосан янгидан-янги композицион материалларни таклиф этиш самолётсозлик, ракетасозлик, машинасозлик, автомобилсозлик, қурилиш, медицина ва ишлаб чиқаришнинг кўплаб бошқа соҳаларида катта фойда келтиради.

Мавзунинг ўрганилганлиги даражаси: маълумки температурани ҳисобга олган термаэластик масалаларни математик моделлаштиришда Дюгамель-Нейман муносабатидан фойдаланилади. Боғлиқ масалаларнинг назарий асослари А.А.Ильюшин, Б.Е.Победря, В.Новацкий, М.Биот ва бошқаларнинг ишларида тадқиқ қилинган. Лекин адабиётларда ечилган масалалар кўпроқ изотроп жисмлар учун келтирилган. Р.С.Худазаровнинг тадқиқот ишларида Трансверсал изотроп жисмлар учун боғлиқ бўлмаган масалалар ечилган. Адабиётларни таҳлилидан келиб чиқсан ҳолда шуни айтиш мумкинки анизотроп жисмлар учун термоэластик боғлиқ масалаларни математик моделларини ва уларни сонли ечиш усувларини тадқиқ қуриш муҳим муаммоларидандир ва кейинги тадқиқот ишларни талаб қиласди.

Тадқиқот ишининг мақсади: трансверсал изотроп жисмлар учун термоэластик боғлиқ масалаларни математик моделларини ўрганиш, уларни сонли ечиш алгоритмларини ўрганиш, уларни масалани ечишга тадбиқ қилиш ва ўрганилган алгоритмлар асосида дастурий таъминот яратиш

Тадқиқот обьекти: трансверсал изотроп жисм сифатида қараладиган композицион материал.

Тадқиқот предмети: трансверсал изотроп жисмларнинг турли хил механик ва температуравий кучлар таъсиридаги термоэластик ҳолатини ўрганиш.

Тадқиқот методи: тадқиқот усули чекли айирмали усуллар, хусусан Либман типидаги итерацион усул, прогонка усули ва тўрлар усули.

Тадқиқотнинг илмий янгилиги:

- трансверсал изотроп жисмлар учун термоэластик боғлиқ масалалар учун чекли айирмали схемалар тадбиқ қилинади;
- хосил бўлган айрмали тенгламаларни турли усулларда сонли ечиш алгоритми келтирилади;
- келтирилган алгоритмлар асосида дастурий таъминот яратилади.

Тадқиқотнинг амалий аҳамияти: трансверсаль изотроп жисмлар учун сонли ечилган боғлиқ масала натижаларидан турли ишлаб чиқариш корхоналарида фойдаланиш мумкин. Яратиладиган дастурий таъминотдан янги композицион материаллар учун қўйилган боғлиқ масалаларни сонли ечишда фойдаланиш мумкин.

Диссертация ишининг тузилиш структураси: ушбу диссертация иши кириш қисми, учта боб, хулоса, илова ва фойдаланилган адабиётлар рўйхатидан ташкил топган. Диссертация иши бўйича Ўзбекистон Миллий Университетининг 95 йиллигига бағишланган “Математика, механика ва информатика фанларининг ривожида истеъодли ёшларнинг ўрни” [21] ва Ўзбекистон Миллий Университетининг 96 йиллигига бағишланган “Математика, механика ва информатика фанларининг ривожида

истеъдодли ёшларнинг ўрни” [22] илмий-амалий семинари тезислар тўпламида иккита тезис чоп эттирилди.

Тадқиқот ишининг биринчи бобида термоэластик масалаларнинг кўйилиши, анизотроп жисмлар термоэластиклигининг асосий муносабатлари, изотроп ва анизотроп жисмлар учун термоэластиклиқ боғлиқ масалалар ҳамда трансверсал изотроп жисмлар учун икки ўлчовли термоэластик боғлиқ масалаларнинг умумий ҳолда кўйилиши келтирилиб ўтилган.

Тадқиқот ишининг иккинчи бобида трансверсал изотроп жисмлар учун икки ўлчовли термоэласик боғлиқ масалаларни сонли ечишга чекли айрмали схемаларни тадбиқ қилиш, ошкор ва ошкор бўлмаган айрмали схемалар ҳақида тушунчалар ҳамда трансверсал изотроп жисмлар учун икки ўлчовли термоэласик боғлиқ масалаларга ошкор ва ошкормас схемаларни тадбиқ қилиш ва чекли айрмали тенгламаларга келтириш. Анизотроп жисмлар учун икки ўлчовли термоэласик боғлиқ масалани тўрлар усули билан сонли ечиш масалалари кўриб чиқилган.

Тадқиқот ишининг учунчи бобида анизотроп жисмлар учун икки ўлчовли термоэласик боғлиқ масалани сонли ечишнинг дастурий таъминоти, дастурий таъминотдаги асосий функциялар тавсифи, дастурий таъминотдан фойдаланиш, киритилувчи константалардан фойдаланиш ҳамда, ҳисоблаш эксперименти кабилар ёритилиб берилган.

Адабиётлар таҳлили: диссертация ишини бажариш давомида бир қатор мақола адабиётлардан фойдаланилди. Бу келтирилган адабиётлар рўйхатини асосан тўрт гурухга ажратиш мумкин:

- 1) Ўзбекистон Республикаси қонунлари, Ўзбекистон Республикаси Президентининг қарор ва фамонлари рўйхати;
- 2) Термоэластик масалаларнинг умумий ҳолда кўйилишига асослаган адабиётлар рўйхати;
- 3) Термоэластик боғлиқ масалаларга чекли айрмали схемаларни тадбиқ қилиб, сонли ечишга бағищланган адабиётлар рўйхати;

4) Программа таъминотини яратиш жараёнида фойдаланилган адабиётлар рўйхати;

5) Мазкур илмий ишни ёзишда фойдаланилган интернет сайтларидан иборат.

Диссертация ишининг хажми 90 бетдан иборат. Яратилган магистрлик диссертация иши ниҳоясида қилинган ишлар асосида хулоса, фойдаланилган адабиётлар рўйхати ва дастур иловалар матни ўрин олган.

I-БОБ. ТЕРМОЭЛАСТИК МАСАЛАСИННИГ ҚҮЙИЛИШИ

1.1. Анизотроп жисмлар термоэластикилигининг асосий муносабатлари.

Жисмнинг деформацияси ундаги температуранинг ўзгариши билан ажралмас ҳолда боғлиқдир. Вақт ўтиши билан деформацияларнинг ўзгариши температуранинг ўзгаришига олиб келади ва аксинча температуранарнинг ўзгариши деформацияларнинг ўзгаришига олиб келади. Жисмнинг ички енергияси деформациялар ва темпаратурага боғлиқдир. Дастреки ҳолатда жисм темпаратурага эга бўлсин, кўрсатилган дастреки ҳолатни табиий ҳолат деб атаемиз. Ташқи кучлар таъсирида ва темпаратуранинг ўзгариши натижасида (қизиш ёки совуш) жисм деформацияланади. Буниниг натижасида жисмда U_i кўчишлар юзага келади. Темпаратуранинг орттирмаси

$$\theta = T - T_0 \quad (1.1.1)$$

Бу ерда $-T$ жисмнинг x нуқтадаги абсолют темпаратуроси.

Темпаратуранинг ўзгариши билан бир қаторда ε_{ij} деформациялар ва σ_{ij} кучланишлар юзага келади. Санаб ўтилган λ_{ij} ва σ_{ij} лар координаталар вақтга боғлиқ функциялардир.

Бундан ташқари жисмнинг термомеханик хоссаларини аниқловчи константалар темпаратурага боғлиқ эмас, деб ҳисоблаймиз. Бундан ташқари деформацияларнинг ўзгаришини ҳам жуда кичкина деб ҳисоблаймиз. Яъни бундан кейин биз чизиқли термоэластиликни қараймиз.

Шунинг учун кўчишлар ва деформациялар орасидаги муносабат чизиқли кўринишга эгадир.

$$\varepsilon_{ij} = \frac{1}{2} (u_{i,j} + u_{j,i}) \quad (1.1.2)$$

Деформациялар тензорининг компоненталари ихтиёрий функция бўлиши мумкин эмас. Улар қуйидаги муносабатларни қаноатлантириши шарт.

$$\varepsilon_{ij,kl} + \varepsilon_{kl,ij} - \varepsilon_{jl,ik} - \varepsilon_{ik,jl} = 0 \quad i, j, k, l = 1, 2, 3 \quad (1.1.3)$$

Бизнинг асосий вазифамиз кучланишлар тензори ε_{ij} ни деформациялар тензори σ_{ij} ва T темпаратура билан боғловчи муносабатни аниқлашдан иборатдир.

$$\sigma_{ij} = C_{ijkl} - \beta_{ij}\theta \quad (1.1.4)$$

(1.1.4)-муносабат термоэластик ҳолат учун умумлаштирилган Гук қонуни, бундан ташқари бу муносабат анизотроп жисмлар учун Дюгамел-Нейман муносабати дейилади.

Бу ерда:

ε_{ij} ва β_{ij} изотермик ҳолатга мос келувчи жисмни характерловчи константалардир. Бундан ташқари C_{ijkl} анизотроп жисмнинг қаттиқлигини аниқловчи коэффициентлар, β_{ij} эса жисмнинг механик ва темпаратурага боғлиқ хоссаларини аниқловчи катталиқдир. C_{ijkl} симметрик тензордир.

$$C_{ijkl} = C_{jikl}, \quad C_{ijkl} = C_{ijlk}, \quad C_{ijkl} = C_{klij} \quad (1.1.5)$$

Бундан ташқари умумлашган иссиқлик ўтказувчанлик тенгламасини келтирамиз.

$$\lambda_{ij} T_{,ij} - C_\varepsilon \dot{\theta} - T \cdot \beta_{ij} \cdot \varepsilon_{ij} = -W \quad (1.1.6)$$

ёки

$$\lambda_{ij} \theta_{,ij} - C_\varepsilon \theta - T \cdot \beta_{ij} \cdot \dot{\varepsilon}_{ij} = -W \quad (1.1.7)$$

Бу ерда,

C_ε -доимий темпаратурадаги иссиқлик сигими,

W -вақт бирлигіда ҳажм бирлигидеги ажраб чиқадиган иссиқлик миқдори,

λ_{ij} -иссиқлик үтказувчанлик коэффициентлари.

(1.1.6) – тенгламани ҳаракат тенгламаси билан биргаликда қараш керак.

$$\sigma_{ij,j} + X_i = \rho \ddot{u}_i \quad (1.1.8)$$

(1.1.6) ва (1.1.8) тенгламалар термоэластик анизотроп жисмларнинг тўлиқ дифференциал тенгламасини ташкил қиласди.

Масалани бошланғич ва чегаравий шартлар билан биргаликда қараймиз. (1.1.6) ва (1.1.8) системаларни ечиш жуда катта математик қийинчиликларга олиб келади [7,9].

1.2. Боғлиқ ва боғлиқ бўлмаган термоэластик масалалар

Термоэластик масалалар қўйилишига қараб боғлиқ ва боғлиқ бўлмаган чегаравий масалаларга ажралади. Умумий ҳолда боғлиқ масалада қаттиқ жисмнинг ҳаракат тенгламалари иссиқлик үтказувчанлик тенгламалари билан биргаликда қаралади. Шуни таъкидлаш лозимки, температура ва унинг ҳосиласи ҳаракат тенгламасида қатнашади, деформация эса иссиқлик үтказувчанлик тенгламасига номаълум сифатида киради, ҳаракат тенгламасида кўчишлар эса иссиқлик үтказувчанлик тенгламасида қатнашади.

Умумий ҳолда термоэластик боғлиқ ва боғлиқмас масаланинг қўйилишини қўйидагича: берилган кучлар ва температурани билган ҳолда кучланишлар тензори σ_{ij} нинг 6 та компонентаси, деформациялар тензорининг ε_{ij} нинг 3 та компонентаси, кўчишлар векторининг 3 та компонентаси ва T температурани аниқлаш керак. Энди термоэластиックликнинг боғлиқ динамик чегаравий масаласини қараб чиқамиз: у ҳаракат тенгламаси

$$\sigma_{ij,j} + X_i = \rho \ddot{u}_i \quad (1.2.1)$$

бу ерда,

$$\sigma_{ij,j} = \frac{\partial \sigma_{ij}}{\partial x_j} \quad (1.2.2)$$

σ_{ij} - кучлар тензори,

ρ - жисмнинг зичлиги,

X_i - ҳажмий кучлар.

Эслатиб ўтамиз кучлар тензори симметрикдир яни

$$\sigma_{ij} = \sigma_{ji} \quad (1.2.3)$$

Деформациялар ва кучланишлар ўртасидаги ёки Дюгамель-Нейман муносабатни

$$\sigma_{ij} = C_{ijkl} \varepsilon_{ij} - \beta_{ij}(T - T_0) \delta_{ij} \quad (1.2.4)$$

ва умумий ҳолда иссиқлик ўтказувчанлик тенгламаси,

$$\lambda_{ij} T_{,ij} - C_\varepsilon \dot{T} - T \cdot \beta_{ij} \cdot \dot{\varepsilon}_{ij} = 0 \quad (1.2.5)$$

бу ерда

C_{ijkl} -жисмни характерловчи параметрлари,

ε_{ij} -деформациялар тензори,

β_{ij} -ҳажмий иссиқлик кенгайиши коэффициенти,

δ_{ij} - Кронеккер символи,

$$\text{бунда; } \delta_{ij} = \begin{cases} 1 & , \quad i = j \\ 0 & , \quad i \neq j \end{cases}$$

T -температура,

C_ε -доимий температурада иссиқлик сигими,

λ_{ij} -иссиқлик қуюми тензори.

$$\varepsilon_{ij} = \frac{1}{2} (u_{i,j} + u_{j,i}) \quad (1.2.6)$$

қўйидаги бошланғич

$$u_i|_{t=t_0} = \varphi_i, \quad \dot{u}_i|_{t=t_0} = \psi_i, \quad T|_{t=t_0} = T_0 \quad (1.2.7)$$

ва чегаравий шартлардан иборат

$$u_i|_{\Sigma_1} = u_i^0, \quad T|_{\Sigma_1} = \bar{T}_0, \quad \sigma_{ij} n_j|_{\Sigma_2} = S_i^0 \quad (1.2.8)$$

Боғлиқ бўлмаган термоэластик масалаларда кўчишлар темпратурага таъсир этмайди. Лекин темпратура кўчишларга таъсир этади. Бунда олдин қаралаётган жисмда температуранинг тарқалиши аниқланади ва ундан фойдаланиб кўчишлар аниқланади.

Боғлиқ бўлмаган термоэластик масала умумий ҳолда қуидагича қўйилади: унинг харакат тенгламаси,

$$\sigma_{ij,j} + X_i = 0 \quad (1.2.9)$$

Дюгамель-Нейман муносабати,

$$\sigma_{ij} = C_{ijkl} \varepsilon_{kl} - \beta_{ij}(T - T_0) \delta_{ij} \quad (1.2.10)$$

Коши муносабати,

$$\varepsilon_{ij} = \frac{1}{2} (u_{i,j} + u_{j,i}) \quad (1.2.11)$$

куидаги бошланғич

$$u_i|_{t=t_0} = \varphi_i, \quad \dot{u}_i|_{t=t_0} = \psi_i, \quad T|_{t=t_0} = T_0 \quad (1.2.12)$$

ва чегаравий шартлардан иборат

$$u_i|_{\Sigma_1} = u_i^0, \quad T|_{\Sigma_1} = \bar{T}_0, \quad \sigma_{ij} n_j|_{\Sigma_2} = S_i^0 \quad (1.2.13)$$

бунда,

σ_{ij} -кучлар тензори, X_i -ҳажмий кучлар, C_{ijkl} -жисмни характерловчи параметрлари, ε_{ij} -деформациялар тензори, β_{ij} -ҳажмий иссиқлик кенгайиши коэффициенти, δ_{ij} - Кронеккер символи,

$$\text{бунда; } \delta_{ij} = \begin{cases} 1 & , \quad i=j \\ 0 & , \quad i \neq j \end{cases}$$

Келтирилған боғлиқ ва боғлиқмас термоэластик масалалар мос равища бошланғич ва чегаравий шартлар асосида сонли ечилади [7,11].

1.3. Изотроп ва анизотроп жисмлар учун термоэластик боғлиқ масалалар

Бу параграфда изотроп ва анизотроп жисмлар учун термоэластикликнинг боғлиқ динамик чегаравий масаласини қараб чиқамиз: у ҳаракат тенгламаси

$$\sigma_{ij,j} + X_i = \rho \ddot{u} \quad (1.3.1)$$

Дюгамель-Нейман муносабати

$$\sigma_{ij} = \lambda \theta \delta_{ij} + 2\mu \varepsilon_{ij} - \alpha_T (3\lambda + 2\mu) (T - T_0) \delta_{ij} \quad (1.3.2)$$

ва умумий ҳолда иссиқлик ўтказувчанлик тенгламаси

$$\lambda_{ij} T_{,ij} - C_\varepsilon \dot{T} - T \cdot \beta_{ij} \cdot \dot{\varepsilon}_{ij} = 0 \quad (1.3.3)$$

бу ерда, C_ε -доимий температурада иссиқлик сифими, β_{ij} -иссиқлик кенгайиши тензори, λ_{ij} -иссиқлик қуюми тензори ва Коши муносабати

$$\varepsilon_{ij} = \frac{1}{2} (u_{i,j} + u_{j,i}) \quad (1.3.4)$$

қүйидаги бошланғич

$$u_i|_{t=t_0} = \varphi_i, \quad \dot{u}_i|_{t=t_0} = \psi_i, \quad T|_{t=t_0} = T_0 \quad (1.3.5)$$

ва чегаравий шартлардан иборат.

$$u_i|_{\Sigma_1} = u_i^0, \quad T|_{\Sigma_1} = \bar{T}_0, \quad \sigma_{ij} n_j|_{\Sigma_2} = S_i^0 \quad (1.3.6)$$

(1.3.1)-(1.3.6) масалалар бир ўлчовли ҳолда қўйидаги қўринишни олади,

Коши муносабати

$$\varepsilon_{11} = \frac{\partial u}{\partial x} \quad (1.3.7)$$

Дюгамель-Нейман муносабати

$$\sigma_{11} = (\lambda + 2\mu)\varepsilon_{11} - \alpha_T(3\lambda + 2\mu)(T - T_0) \quad (1.3.8)$$

Харакат тенгламаси

$$\frac{\partial \sigma_{11}}{\partial x} + X_1 = \frac{\partial^2 u}{\partial t^2} \quad (1.3.9)$$

(1.3.7) ни (1.3.8) га қўйиб қуйидагига эга бўламиз,

$$\sigma_{11} = (\lambda + 2\mu)\frac{\partial u}{\partial x} - \alpha_T(3\lambda + 2\mu)(T - T_0) \quad (1.3.10)$$

Бу ифодани (1.3.9) - харакат тенгламасига қўйиб кўчишларда ифодаланган қуйидаги харакат тенгламасига эга бўламиз,

$$(\lambda + 2\mu)\frac{\partial^2 u}{\partial x^2} - \alpha_T(3\lambda + 2\mu)\left(\frac{\partial T}{\partial x}\right) = \rho \frac{\partial^2 u}{\partial t^2}, \quad (1.3.11)$$

ва бир ўлчовли ҳолда иссиқлик ўтказувчалик тенгламасига (1.3.7) ифодани қўйиб қуйидагига эга бўламиз.

$$\lambda_0 \frac{\partial^2 T}{\partial x^2} - C_\varepsilon \frac{\partial T}{\partial t} - T \cdot \alpha_T(3\lambda + 2\mu) \frac{\partial^2 u}{\partial x \partial t} = 0 \quad (1.3.12)$$

$$(\lambda + 2\mu)\frac{\partial^2 u}{\partial x^2} - \alpha_T(3\lambda + 2\mu)\left(\frac{\partial T}{\partial x}\right) = \rho \frac{\partial^2 u}{\partial t^2} \quad (1.3.13)$$

Ҳосил қилинган тенгламалар мос равишда бошланғич

$$u(x, t)|_{t=0} = \varphi, \quad \frac{\partial u}{\partial t}|_{t=0} = \psi, \quad T(x, t)|_{t=0} = T_0 \quad (1.3.14)$$

ва чегаравий шартлар

$$u(x, t)|_{x=0} = u_0; \quad u(x, t)|_{x=\ell} = \bar{u}_0; \quad (1.3.15)$$

$$T(x, t)|_{x=0} = T_1(t); \quad T(x, t)|_{x=\ell} = T_2(t);$$

билин ечилади.

Бу ерда, $\lambda, \mu, \alpha_T, C_\varepsilon, \beta, \lambda_0$ – аниқ кattаликлар, ℓ – стержень узунлиги, $\varphi, \psi, T_0, T_1, T_2$ – берилган кattаликлар.

Масала күйилишини икки ўлчовли ҳолда қуйидагича ёзамиз, юқоридаги (1.3.1) – тенглик икки ўлчовли ҳолда қуйидагича бўлади:

$$\begin{cases} \frac{\partial \sigma_{11}}{\partial x} + \frac{\partial \sigma_{12}}{\partial y} + X_1 = \rho \frac{\partial^2 u}{\partial t^2} \\ \frac{\partial \sigma_{21}}{\partial x} + \frac{\partial \sigma_{22}}{\partial y} + X_2 = \rho \frac{\partial^2 v}{\partial t^2} \end{cases} \quad (1.3.16)$$

Изотроп жисмлар учун иссиқлик тарқалиш тенгламаси:

$$\lambda_0 \left(\frac{\partial^2 T}{\partial x^2} + \frac{\partial^2 T}{\partial y^2} \right) - C_\varepsilon \frac{\partial T}{\partial t} - (3\lambda + 2\mu) \alpha_T T_0 \left(\frac{\partial^2 u}{\partial x \partial t} + \frac{\partial^2 v}{\partial y \partial t} \right) = 0 \quad (1.3.17)$$

(1.3.16) – тенглик икки ўлчовли ҳолда қуйидагича бўлади:

$$\begin{aligned} \sigma_{11} &= \lambda(\varepsilon_{11} + \varepsilon_{22}) + 2\mu\varepsilon_{11} - \alpha(3\lambda + 2\mu)(T - T_0) \\ \sigma_{22} &= \lambda(\varepsilon_{11} + \varepsilon_{22}) + 2\mu\varepsilon_{22} - \alpha(3\lambda + 2\mu)(T - T_0) \\ \sigma_{12} &= 2\mu\varepsilon_{12} \\ \sigma_{21} &= 2\mu\varepsilon_{12} \end{aligned} \quad (1.3.18)$$

(1.3.4) – тенглик икки ўлчовли ҳолда қуйидагича бўлади:

$$\begin{aligned} \varepsilon_{11} &= \frac{1}{2} \left(\frac{\partial u}{\partial x} + \frac{\partial u}{\partial x} \right) = \frac{\partial u}{\partial x} \\ \varepsilon_{22} &= \frac{1}{2} \left(\frac{\partial v}{\partial y} + \frac{\partial v}{\partial y} \right) = \frac{\partial v}{\partial y} \\ \varepsilon_{12} &= \frac{1}{2} \left(\frac{\partial u}{\partial y} + \frac{\partial v}{\partial x} \right) \end{aligned} \quad (1.3.19)$$

Деформациялар учун (1.3.19) да келтирилган муносабатларни (1.3.18) га қўямиз.

$$\sigma_{11} = (\lambda + 2\mu) \frac{\partial u}{\partial x} + \lambda \frac{\partial v}{\partial y} - \alpha(3\lambda + 2\mu)(T - T_0)$$

$$\sigma_{22} = (\lambda + 2\mu) \frac{\partial v}{\partial y} + \lambda \frac{\partial u}{\partial x} - \alpha(3\lambda + 2\mu)(T - T_0) \quad (1.3.20)$$

$$\sigma_{12} = \mu(\frac{\partial u}{\partial y} + \lambda \frac{\partial v}{\partial x})$$

Аниқланганларни мувозанат тенгламасига қўйсак қўйидаги кўринишга келади:

$$\begin{cases} (\lambda + 2\mu) \frac{\partial^2 u}{\partial x^2} + (\lambda + \mu) \frac{\partial^2 v}{\partial x \partial y} + \mu \frac{\partial^2 u}{\partial y^2} - \alpha_T (3\lambda + 2\mu) \frac{\partial T}{\partial x} = \rho \frac{\partial^2 u}{\partial t^2} \\ (\lambda + 2\mu) \frac{\partial^2 v}{\partial y^2} + (\lambda + \mu) \frac{\partial^2 u}{\partial x \partial y} + \mu \frac{\partial^2 v}{\partial x^2} - \alpha_T (3\lambda + 2\mu) \frac{\partial T}{\partial y} = \rho \frac{\partial^2 v}{\partial t^2} \end{cases} \quad (1.3.21)$$

$$\lambda_0 \left(\frac{\partial^2 T}{\partial x^2} + \frac{\partial^2 T}{\partial y^2} \right) - C_\varepsilon \frac{\partial T}{\partial t} - (3\lambda + 2\mu) \alpha_T T_0 \left(\frac{\partial^2 u}{\partial x \partial t} + \frac{\partial^2 v}{\partial y \partial t} \right) = 0 \quad (1.3.22)$$

(1.3.21) ва (1.3.22) тенглама мос равища бошланғич

$$\begin{aligned} u(x, y, t) \Big|_{t=0} &= \varphi_1, \quad \frac{\partial u}{\partial t} \Big|_{t=0} = \psi_1, \\ v(x, y, t) \Big|_{t=0} &= \varphi_2, \quad \frac{\partial v}{\partial t} \Big|_{t=0} = \psi_2 \end{aligned} \quad (1.3.23)$$

$$T(x, y, t) \Big|_{t=0} = T_0$$

ва чегаравий шартлар

$$u(x, y, t) \Big|_{\Sigma} = u_0; \quad v(x, y, t) \Big|_{\Sigma} = v_0; \quad T(x, y, t) \Big|_{\Sigma} = \bar{T}_0(t) \quad (1.3.24)$$

билин сонли ечилади.

Бу ерда, λ, μ – Ламе коэффициентлари, λ_0 – иссиқлик ўтказувчанлик коэффициенти, α_T – иссиқлик кенгайиш коэффициенти, C_ε – ўзгармас температуралардаги иссиқлик сифими, T – температура, ρ – жисм зичлиги. (1.3.21) ва (1.3.22) тенгламалар турли муносабатларда сонли ечилади.

(1.3.1) - ҳаракат тенгламаси уч ўлчовли ҳолда қуидаги кўринишни олади.

$$\begin{cases} \frac{\partial \sigma_{11}}{\partial x} + \frac{\partial \sigma_{12}}{\partial y} + \frac{\partial \sigma_{13}}{\partial z} + X_1 = \rho \frac{\partial^2 u}{\partial t^2} \\ \frac{\partial \sigma_{21}}{\partial x} + \frac{\partial \sigma_{22}}{\partial y} + \frac{\partial \sigma_{23}}{\partial z} + X_2 = \rho \frac{\partial^2 v}{\partial t^2} \\ \frac{\partial \sigma_{31}}{\partial x} + \frac{\partial \sigma_{32}}{\partial y} + \frac{\partial \sigma_{33}}{\partial z} + X_3 = \rho \frac{\partial^2 w}{\partial t^2} \end{cases} \quad (1.3.25)$$

(1.3.2) - муносабат уч ўлчовли ҳолатда қуидаги кўринишни олади.

$$\sigma_{11} = (\lambda + 2\mu)\varepsilon_{11} + \lambda(\varepsilon_{22} + \varepsilon_{33}) - \alpha_T(3\lambda + 2\mu)(T - T_0)$$

$$\sigma_{22} = (\lambda + 2\mu)\varepsilon_{22} + \lambda(\varepsilon_{11} + \varepsilon_{33}) - \alpha_T(3\lambda + 2\mu)(T - T_0)$$

$$\sigma_{33} = (\lambda + 2\mu)\varepsilon_{33} + \lambda(\varepsilon_{11} + \varepsilon_{22}) - \alpha_T(3\lambda + 2\mu)(T - T_0)$$

$$\sigma_{12} = 2\mu\varepsilon_{12} \quad (1.3.26)$$

$$\sigma_{13} = 2\mu\varepsilon_{13}$$

$$\sigma_{23} = 2\mu\varepsilon_{23}$$

(1.3.4) - муносабат уч ўлчовли ҳолатда қуидаги кўринишни олади.

$$\varepsilon_{11} = \frac{1}{2} \left(\frac{\partial u}{\partial x} + \frac{\partial u}{\partial x} \right) = \frac{\partial u}{\partial x}$$

$$\varepsilon_{22} = \frac{1}{2} \left(\frac{\partial v}{\partial y} + \frac{\partial v}{\partial y} \right) = \frac{\partial v}{\partial y}$$

$$\varepsilon_{33} = \frac{1}{2} \left(\frac{\partial w}{\partial z} + \frac{\partial w}{\partial z} \right) = \frac{\partial w}{\partial z}$$

$$\varepsilon_{12} = \frac{1}{2} \left(\frac{\partial u}{\partial y} + \frac{\partial v}{\partial x} \right) \quad (1.3.27)$$

$$\varepsilon_{13} = \frac{1}{2} \left(\frac{\partial u}{\partial z} + \frac{\partial w}{\partial x} \right)$$

$$\varepsilon_{23} = \frac{1}{2} \left(\frac{\partial v}{\partial z} + \frac{\partial w}{\partial y} \right)$$

(1.3.3) - иссиқлик үтказувчанлик тенгламаси ҳам уч ўлчовли ҳолда қуидаги кўринишни олади.

$$\lambda_0 \left(\frac{\partial^2 T}{\partial x^2} + \frac{\partial^2 T}{\partial y^2} + \frac{\partial^2 T}{\partial z^2} \right) - C_{\varepsilon} \frac{\partial T}{\partial t} - T \alpha_T (3\lambda + 2\mu) \left(\frac{\partial \varepsilon_{11}}{\partial t} + \frac{\partial \varepsilon_{22}}{\partial t} + \frac{\partial \varepsilon_{33}}{\partial t} \right) = 0 \quad (1.3.28)$$

(1.3.27) ни (1.3.26) га қўйиб қуидаги тенгликларни ҳосил қиласиз:

$$\begin{aligned} \sigma_{11} &= (\lambda + 2\mu) \frac{\partial u}{\partial x} + \lambda \left(\frac{\partial v}{\partial y} + \frac{\partial w}{\partial z} \right) - \alpha_T (3\lambda + 2\mu) (T - T_0) \\ \sigma_{22} &= (\lambda + 2\mu) \frac{\partial v}{\partial y} + \lambda \left(\frac{\partial u}{\partial x} + \frac{\partial w}{\partial z} \right) - \alpha_T (3\lambda + 2\mu) (T - T_0) \\ \sigma_{33} &= (\lambda + 2\mu) \frac{\partial w}{\partial z} + \lambda \left(\frac{\partial u}{\partial x} + \frac{\partial v}{\partial y} \right) - \alpha_T (3\lambda + 2\mu) (T - T_0) \\ \sigma_{12} &= \mu \left(\frac{\partial u}{\partial y} + \frac{\partial v}{\partial x} \right) \\ \sigma_{13} &= \mu \left(\frac{\partial u}{\partial z} + \frac{\partial w}{\partial x} \right) \\ \sigma_{23} &= \mu \left(\frac{\partial v}{\partial z} + \frac{\partial w}{\partial y} \right) \end{aligned} \quad (1.3.29)$$

Ҳосил бўлган (1.4.29)-тенгламани юқоридаги (1.3.25)-ҳаракат тенгламасига қўямиз:

$$\begin{aligned} &(\lambda + 2\mu) \frac{\partial^2 u}{\partial x^2} + \lambda \left(\frac{\partial^2 v}{\partial x \partial y} + \frac{\partial^2 w}{\partial x \partial z} \right) - \alpha_T (3\lambda + 2\mu) \frac{\partial T}{\partial x} + \left(\frac{\partial^2 u}{\partial y^2} + \frac{\partial^2 v}{\partial x \partial y} \right) + \\ &+ \left(\frac{\partial^2 u}{\partial z^2} + \frac{\partial^2 w}{\partial x \partial z} \right) + X_1 = \rho \frac{\partial^2 u}{\partial t^2} \end{aligned} \quad (1.3.30)$$

$$\begin{aligned} &\mu \left(\frac{\partial^2 u}{\partial x \partial y} + \frac{\partial^2 v}{\partial x^2} \right) + (\lambda + 2\mu) \frac{\partial^2 v}{\partial y^2} + \lambda \left(\frac{\partial^2 u}{\partial x \partial y} + \frac{\partial^2 w}{\partial y \partial z} \right) - \alpha_T (3\lambda + 2\mu) \frac{\partial T}{\partial y} + \\ &+ \mu \left(\frac{\partial^2 v}{\partial z^2} + \frac{\partial^2 w}{\partial y \partial z} \right) + \left(\frac{\partial^2 u}{\partial z^2} + \frac{\partial^2 w}{\partial x \partial z} \right) + X_2 = \rho \frac{\partial^2 v}{\partial t^2} \end{aligned} \quad (1.3.31)$$

$$\begin{aligned} & \mu\left(\frac{\partial^2 u}{\partial x \partial z} + \frac{\partial^2 w}{\partial x^2}\right) + \mu\left(\frac{\partial^2 v}{\partial y \partial z} + \frac{\partial^2 w}{\partial y^2}\right) + (\lambda + 2\mu)\frac{\partial^2 w}{\partial z^2} + \lambda\left(\frac{\partial^2 u}{\partial x \partial z} + \frac{\partial^2 v}{\partial y \partial z}\right) - \\ & - \alpha_T (3\lambda + 2\mu)\frac{\partial T}{\partial z} + X_3 = \rho \frac{\partial^2 w}{\partial t^2} \end{aligned} \quad (1.3.32)$$

$$\begin{aligned} & \lambda_0\left(\frac{\partial^2 T}{\partial x^2} + \frac{\partial^2 T}{\partial y^2} + \frac{\partial^2 T}{\partial z^2}\right) - C_\varepsilon \frac{\partial T}{\partial t} - T \alpha_T (3\lambda + 2\mu)\left(\frac{\partial^2 u}{\partial x \partial t} + \right. \\ & \left. + \frac{\partial^2 v}{\partial y \partial t} + \frac{\partial^2 w}{\partial z \partial t}\right) = 0 \end{aligned} \quad (1.3.33)$$

(1.3.30)-(1.3.31)-(1.3.32) ва (1.3.33) тенгламалар мос равища (1.3.5) – бошланғич шарт ва (1.3.6) – чегаравий шартлар билан сонли ечилади.

Бу ерда, λ, μ – Ламе коэффициентлари, λ_0 – иссиқлик ўтказувчанлик коэффициенти, α_T – иссиқлик кенгайиш коэффициенти, C_ε – ўзгармас температурадаги иссиқлик сиғими, T – температура, ρ – жисм зичлиги.

Анизотроп жисмлар учун термоэластикликнинг боғлиқ динамикалық чегаравий масаласини қараб чиқамиз.

Бу тенгламалар бир ўлчовли ҳолатда қуидагича бўлади. Унинг ҳаракат тенгламаси:

$$\sigma_{ij,j} + X_i = \rho \ddot{u}_i \quad (1.3.34)$$

Дюгамел-Нейман муносабати

$$\sigma_{ij} = C_{ijkl} \epsilon_{kl} - \beta_{ij}(T - T_0) \delta_{ij} \quad (1.3.35)$$

ва умумий ҳолда иссиқлик ўтказувчанлик тенгламаси

$$\lambda_{ij} T_{,ij} - C_\varepsilon \dot{T} - T \cdot \beta_{ij} \cdot \dot{\epsilon}_{ij} = 0 \quad (1.3.36)$$

бу ерда, C_ε -доимий температурада иссиқлик сиғими, β_{ij} -иссиқлик кенгайиши тензори, λ_{ij} -иссиқлик қуюми тензори ва Коши муносабати

$$\epsilon_{ij} = \frac{1}{2} (u_{i,j} + u_{j,i}) \quad (1.3.37)$$

куйидаги бошланғич шартлар

$$u_i|_{t=t_0} = \varphi_i, \quad \dot{u}_i|_{t=t_0} = \psi_i, \quad T|_{t=t_0} = T_0 \quad (1.3.38)$$

ва чегаравий шартлардан иборат

$$u_i|_{\Sigma_1} = u_i^0, \quad T|_{\Sigma_1} = \bar{T}_0, \quad \sigma_{ij} n_j|_{\Sigma_2} = S_i^0 \quad (1.3.39)$$

(1.3.34)-(1.3.36) тенгламалар бир ўлчовли ҳолда қуйидаги қўринишни олади: Коши муносабати

$$\varepsilon_{11} = \frac{\partial u}{\partial x} \quad (1.3.40)$$

Дюгамель-Нейман муносабати

$$\sigma_{11} = C_{1111} \varepsilon_{11} - \beta_{11} (T - T_0) \quad (1.3.41)$$

Ҳаракат тенгламаси

$$\frac{\partial \sigma_{11}}{\partial x} + X_1 = \frac{\partial^2 u}{\partial t} \quad (1.3.42)$$

(1.3.40) ни (1.3.41) га қўйиб қуйидагига эга бўламиз:

$$\sigma_{11} = C_{1111} \frac{\partial u}{\partial x} - \beta_{11} (T - T_0) \quad (1.3.43)$$

Ҳосил бўлган ифодани (1.3.9) - ҳаракат тенгламасига қўйиб қўчишларда ифодаланган қуйидаги ҳаракат тенгламасига эга бўламиз,

$$C_{1111} \frac{\partial^2 u}{\partial x^2} - \beta_{11} \left(\frac{\partial T}{\partial x} \right) = \rho \frac{\partial^2 u}{\partial t^2}, \quad (1.3.44)$$

ва бир ўлчовли ҳолда иссиқлик ўтказувчанлик тенгламасига (1.3.40) - ифодани қўйиб қуйидагига эга бўламиз.

$$\lambda_{11} \frac{\partial^2 T}{\partial x^2} - C_\varepsilon \frac{\partial T}{\partial t} - T \cdot \beta_{11} \frac{\partial^2 u}{\partial x \partial t} = 0, \quad (1.3.45)$$

(1.3.44) ва (1.3.45) – тенгламалар мос равища бошланғич шартлар

$$u(x, t)|_{t=0} = \varphi, \quad \frac{\partial u}{\partial t}|_{t=0} = \psi, \quad T(x, t)|_{t=0} = T_0 \quad (1.3.46)$$

ва чегаравий шартлар

$$u(x, t)|_{x=0} = u_0; \quad u(x, t)|_{x=\ell} = \bar{u}_0, \quad (1.3.47)$$

$$T(x, t)|_{x=0} = T_1(t); \quad T(x, t)|_{x=\ell} = T_2(t)$$

Бу ерда, $\lambda, C_\varepsilon, \beta, \lambda_0$ – аниқ катталиклар, ℓ – стержен узунлиги, $\varphi, \psi, T_0, T_1, T_2$ – берилган катталиклар: билан сонли ечилади.

(1.3.34) – тенгламанинг икки ўлчовли ҳолдаги қўриниши қўйидагича:

$$\begin{cases} \frac{\partial \sigma_{11}}{\partial x} + \frac{\partial \sigma_{12}}{\partial y} + X_1 = \rho \frac{\partial^2 u}{\partial t^2} \\ \frac{\partial \sigma_{21}}{\partial x} + \frac{\partial \sigma_{22}}{\partial y} + X_2 = \rho \frac{\partial^2 v}{\partial t^2} \end{cases} \quad (1.3.48)$$

(1.3.36) – тенгламанинг икки ўлчовли трансверсал изотроп жисмлар учун иссиқлик тарқалиш тенгламаси:

$$\lambda_{11} \frac{\partial^2 T}{\partial x^2} + \lambda_{11} \frac{\partial^2 T}{\partial y^2} - C_\varepsilon \frac{\partial T}{\partial t} - T (\beta_{11} \frac{\partial^2 u}{\partial x \partial t} + \beta_{22} \frac{\partial^2 v}{\partial y \partial t}) = 0 \quad (1.3.49)$$

(1.3.35) – тенглик икки ўлчовли ҳолда қўйидагича бўлади:

$$\begin{aligned} \sigma_{11} &= C_{1111} \varepsilon_{11} + C_{2222} \varepsilon_{22} - \beta_{11} (T - T_0) \\ \sigma_{22} &= C_{2211} \varepsilon_{11} + C_{2222} \varepsilon_{22} - \beta_{22} (T - T_0) \\ \sigma_{12} &= 2C_{1212} \varepsilon_{12} \end{aligned} \quad (1.3.50)$$

(1.3.36) – тенглик икки ўлчовли ҳолда қўйидагича бўлади:

$$\begin{aligned} \varepsilon_{11} &= \frac{1}{2} \left(\frac{\partial u}{\partial x} + \frac{\partial u}{\partial x} \right) = \frac{\partial u}{\partial x} \\ \varepsilon_{22} &= \frac{1}{2} \left(\frac{\partial v}{\partial y} + \frac{\partial v}{\partial y} \right) = \frac{\partial v}{\partial y} \\ \varepsilon_{12} &= \frac{1}{2} \left(\frac{\partial u}{\partial y} + \frac{\partial v}{\partial x} \right) \end{aligned} \quad (1.3.51)$$

Деформациялар учун (1.3.51) да келтирилган муносабатларни (1.3.50) га қўямиз.

$$\begin{aligned}
\sigma_{11} &= C_{1111} \frac{\partial u}{\partial x} + C_{1122} \frac{\partial v}{\partial y} - \beta_{11}(T - T_0) \\
\sigma_{22} &= C_{2211} \frac{\partial v}{\partial y} + C_{2222} \frac{\partial u}{\partial x} - \beta_{22}(T - T_0) \\
\sigma_{12} &= C_{1212} \left(\frac{\partial u}{\partial y} + \frac{\partial v}{\partial x} \right)
\end{aligned} \tag{1.3.52}$$

Аниқланганларни харакат тенгламасыга қўйсак қуидаги кўринишга келади:

$$\begin{cases} C_{1111} \frac{\partial^2 u}{\partial x^2} + C_{1122} \frac{\partial^2 u}{\partial x \partial y} + C_{1212} \left(\frac{\partial^2 u}{\partial y^2} + \frac{\partial^2 v}{\partial x \partial y} \right) - \beta_{11} \frac{\partial T}{\partial x} + X_1 = \rho \frac{\partial^2 u}{\partial t^2} \\ C_{2222} \frac{\partial^2 v}{\partial y^2} + C_{2211} \frac{\partial^2 v}{\partial x \partial y} + C_{1212} \left(\frac{\partial^2 v}{\partial x^2} + \frac{\partial^2 u}{\partial x \partial y} \right) - \beta_{22} \frac{\partial T}{\partial y} + X_2 = \rho \frac{\partial^2 v}{\partial t^2} \end{cases} \tag{1.3.53}$$

$$\lambda_{11} \frac{\partial^2 T}{\partial x^2} + \lambda_{22} \frac{\partial^2 T}{\partial y^2} - C_e \frac{\partial T}{\partial t} - T_0 (\beta_{11} \frac{\partial^2 u}{\partial x \partial t} + \beta_{22} \frac{\partial^2 v}{\partial y \partial t}) = 0 \tag{1.3.54}$$

(1.3.53) ва (1.3.54) тенгламалар мос равища бошланғич

$$\begin{aligned}
u(x, y, t) \Big|_{t=0} &= \varphi_1, \quad \frac{\partial u}{\partial t} \Big|_{t=0} = \psi_1, \\
v(x, y, t) \Big|_{t=0} &= \varphi_2, \quad \frac{\partial v}{\partial t} \Big|_{t=0} = \psi_2, \quad T(x, y, t) \Big|_{t=0} = T_0
\end{aligned} \tag{1.3.55}$$

ва чегаравий шартлар

$$\begin{aligned}
u(x, y, t) \Big|_{x=0} &= u_0; \quad u(x, y, t) \Big|_{x=\ell_1} = \bar{u}_0; \quad u(x, y, t) \Big|_{y=0} = u'_0; \\
u(x, y, t) \Big|_{y=\ell_2} &= \bar{u}'_0; \quad v(x, y, t) \Big|_{x=0} = v_0; \quad v(x, y, t) \Big|_{x=\ell_1} = \bar{v}_0; \\
v(x, y, t) \Big|_{y=0} &= v'_0; \quad v(x, y, t) \Big|_{y=\ell_2} = \bar{v}'_0; \quad T(x, y, t) \Big|_{x=0} = T_1(t); \\
T(x, y, t) \Big|_{x=\ell_1} &= T_2(t); \quad T(x, y, t) \Big|_{y=0} = T'_1(t); \quad T(x, y, t) \Big|_{y=\ell_2} = T'_2(t).
\end{aligned} \tag{1.3.56}$$

Бу ерда, λ , C_ε , β , λ_0 – аниқ катталиклар, ℓ – стержен узунлиги, ρ – жисм зичлиги, T – температура, $\varphi, \psi, T_0, T_1, T_2$ – берилган катталиклар, билан сонли ечилади.

(1.3.34) – ҳаракат тенламасини уч ўлчовли ҳолат учун қуйидагicha ёзамиш:

$$\begin{cases} \frac{\partial \sigma_{11}}{\partial x} + \frac{\partial \sigma_{12}}{\partial y} + \frac{\partial \sigma_{13}}{\partial z} + X_1 = \rho \frac{\partial^2 u}{\partial t^2} \\ \frac{\partial \sigma_{21}}{\partial x} + \frac{\partial \sigma_{22}}{\partial y} + \frac{\partial \sigma_{23}}{\partial z} + X_2 = \rho \frac{\partial^2 v}{\partial t^2} \\ \frac{\partial \sigma_{31}}{\partial x} + \frac{\partial \sigma_{32}}{\partial y} + \frac{\partial \sigma_{33}}{\partial z} + X_3 = \rho \frac{\partial^2 w}{\partial t^2} \end{cases} \quad (1.3.57)$$

(1.3.37) - муносабат уч ўлчовли ҳолатда қуйидаги кўринишни олади.

$$\begin{aligned} \varepsilon_{11} &= \frac{1}{2} \left(\frac{\partial u}{\partial x} + \frac{\partial u}{\partial x} \right) = \frac{\partial u}{\partial x}, \\ \varepsilon_{22} &= \frac{1}{2} \left(\frac{\partial v}{\partial y} + \frac{\partial v}{\partial y} \right) = \frac{\partial v}{\partial y}, \\ \varepsilon_{33} &= \frac{1}{2} \left(\frac{\partial w}{\partial z} + \frac{\partial w}{\partial z} \right) = \frac{\partial w}{\partial z}, \\ \varepsilon_{12} &= \frac{1}{2} \left(\frac{\partial u}{\partial y} + \frac{\partial v}{\partial x} \right), \\ \varepsilon_{13} &= \frac{1}{2} \left(\frac{\partial u}{\partial z} + \frac{\partial w}{\partial x} \right), \\ \varepsilon_{23} &= \frac{1}{2} \left(\frac{\partial v}{\partial z} + \frac{\partial w}{\partial y} \right). \end{aligned} \quad (1.3.58)$$

(1.3.35) - муносабат уч ўлчовли ҳолатда қуйидаги кўринишни олади.

$$\begin{aligned} \sigma_{11} &= C_{1111} \varepsilon_{11} + C_{1122} \varepsilon_{22} + C_{1133} \varepsilon_{33} - \beta_{11} (T - T_0), \\ \sigma_{22} &= C_{2211} \varepsilon_{11} + C_{2222} \varepsilon_{22} + C_{2233} \varepsilon_{33} - \beta_{22} (T - T_0), \end{aligned}$$

$$\sigma_{33} = C_{3311}\varepsilon_{11} + C_{3322}\varepsilon_{22} + C_{3333}\varepsilon_{33} - \beta_{33}(T - T_0), \quad (1.3.59)$$

$$\sigma_{12} = C_{1212}\varepsilon_{12},$$

$$\sigma_{13} = C_{1313}\varepsilon_{13},$$

$$\sigma_{23} = C_{2323}\varepsilon_{23}.$$

(1.3.36) – муносабат Трансверсал изотроп жисмлар учун уч ўлчовли ҳолда қуидаги кўринишни олади.

$$\lambda_{11} \frac{\partial^2 T}{\partial x^2} + \lambda_{22} \frac{\partial^2 T}{\partial y^2} + \lambda_{33} \frac{\partial^2 T}{\partial z^2} - C_\varepsilon \frac{\partial T}{\partial t} - T_0 \left(\frac{\partial \varepsilon_{11}}{\partial t} + \frac{\partial \varepsilon_{22}}{\partial t} + \frac{\partial \varepsilon_{33}}{\partial t} \right) = 0 \quad (1.3.60)$$

(1.3.58) - тенгламани (1.3.59)- тенгламага қўйиб қуидагича ёзамиш:

$$\sigma_{11} = C_{1111} \frac{\partial u}{\partial x} + C_{1122} \frac{\partial v}{\partial y} + C_{1133} \frac{\partial w}{\partial z} - \beta_{11}(T - T_0),$$

$$\sigma_{22} = C_{2211} \frac{\partial u}{\partial x} + C_{2222} \frac{\partial v}{\partial y} + C_{2233} \frac{\partial w}{\partial z} - \beta_{22}(T - T_0),$$

$$\sigma_{33} = C_{3311} \frac{\partial u}{\partial x} + C_{3322} \frac{\partial v}{\partial y} + C_{3333} \frac{\partial w}{\partial z} - \beta_{33}(T - T_0),$$

(1.3.61)

$$\sigma_{12} = C_{1212} \frac{1}{2} \left(\frac{\partial u}{\partial y} + \frac{\partial v}{\partial x} \right),$$

$$\sigma_{13} = C_{1313} \frac{1}{2} \left(\frac{\partial u}{\partial z} + \frac{\partial w}{\partial x} \right),$$

$$\sigma_{23} = C_{2323} \frac{1}{2} \left(\frac{\partial v}{\partial z} + \frac{\partial w}{\partial y} \right).$$

Ҳосил бўлган (1.3.61) – муносабатни (1.3.57) – ҳаракат тенгламасига қўйиб қуидаги тенгликларни ҳосил қиласиз:

$$\left\{ \begin{array}{l} \frac{\partial}{\partial y} C_{1212} \varepsilon_{12} + \frac{\partial}{\partial x} (C_{1111} \varepsilon_{11} + C_{1122} \varepsilon_{22} + C_{1133} \varepsilon_{33} - \beta_{11} (T - T_0)) + \\ + \frac{\partial}{\partial z} C_{1313} \varepsilon_{13} + X_1 = \rho \frac{\partial^2 u}{\partial t^2} \\ \frac{\partial}{\partial x} C_{1212} \varepsilon_{12} + \frac{\partial}{\partial y} (C_{2211} \varepsilon_{11} + C_{2222} \varepsilon_{22} + C_{2233} \varepsilon_{33} - \beta_{22} (T - T_0)) + \\ + \frac{\partial}{\partial z} C_{2323} \varepsilon_{23} + X_2 = \rho \frac{\partial^2 v}{\partial t^2} \\ \frac{\partial}{\partial x} C_{1313} \varepsilon_{13} + \frac{\partial}{\partial z} (C_{3311} \varepsilon_{11} + C_{3322} \varepsilon_{22} + C_{3333} \varepsilon_{33} - \beta_{33} (T - T_0)) + \\ + \frac{\partial}{\partial y} C_{2323} \varepsilon_{23} + X_3 = \rho \frac{\partial^2 w}{\partial t^2} \end{array} \right. \quad (1.3.64)$$

(1.3.60) - тенгламани (1.3.58)- иссиқлик үтказувчанлик тенгламасига қўйиб қўйидагича ифодалаймиз:

$$\lambda_{11} \frac{\partial^2 T}{\partial x^2} + \lambda_{22} \frac{\partial^2 T}{\partial y^2} + \lambda_{33} \frac{\partial^2 T}{\partial z^2} - C_\varepsilon \frac{\partial T}{\partial t} - T_0 \left(\frac{\partial^2 u}{\partial x \partial t} + \frac{\partial^2 v}{\partial y \partial t} + \frac{\partial^2 w}{\partial z \partial t} \right) = 0 \quad (1.3.65)$$

(1.3.64) - ҳаракат тенгламалари ва (1.3.65) – иссиқлик үтказувчанлик тенгламалари биргаликда (1.3.38) – (1.3.39) – бошланғич ва чегаравий шартлар билан сонли ечилади [7,8,9].

1.4. Трансверсал изотроп жисмлар учун икки ўлчовли термоэластик боғлиқ масаланинг қўйилиши

Сўнгги пайтларда ишлаб чиқаришнинг турли соҳаларидаги муаммоларнинг пайдо бўлиши билан термоэластиклик назарияси табий равишда ривожланиб бормоқда. Бизга маълумки жисмга ҳеч қандай куч таъсир қилмаса у ўзининг ҳолатини ўзгартирмайди. Агарда жисмга бирор-бир куч таъсир етса, у ўзининг ҳолатини ўзгартириши мумкин яъни сиқилиши, чўзилиши, силжиши ёки буралиши мумкин. Жисмнинг деформацияланиш жараёни ундаги температуранинг ўзгаришига боғлиқдир. Умумий ҳолда температура деформацияга ва деформация температуранинг ўзгаришига таъсир қилиши мумкин. Бундай жараёнларни термоэластиклик назарияси ўрганади.

Умумий ҳолда термоэластик динамика чегаравий масалада ҳаракат тенгламаси, термоэластикликни аниқловчи муносабатлар, Коши муносабати, иссиқлик ўтказувчанлик тенгламаси ва мос равишда бошланғич ва чегаравий шартлардан иборат бўлади. Эслатиб ўтамиз, кўчишларда ёзилган ҳаракат тенгламаси ва иссиқлик ўтказувчанлик тенгламаси ўзаро бир-бири билан боғлиқдир, яъни температура координата ва вақтга боғлиқ функция сифатида ҳаракат тенгламасида, кўчишлар эса иссиқлик ўтказувчанлик тенгламасида қатнашади.

Агар жисмнинг ҳаракатига таъсир қилувчи ташқи омиллар вақт бўйича жуда секин ўзгарса, у ҳолда ҳаракат тенгламасидаги инерцион аъзоларни этиборга олмаса ҳам бўлади ва масала квазистатик масала сифатида қаралади [6].

Трансверсал изотроп жисмлар учун икки ўлчовли термоэластикликтининг боғлиқ динамика чегаравий масаласини қараб чиқамиз:

Масаланинг қўйилиши умумий ҳолда қўйидагича бўлади: у ҳаракат тенгламаси

$$\sigma_{ij,j} + X_i = \rho \ddot{u}_i \quad (1.4.1)$$

анизотроп жисмлар учун Дюгамель-Нейман муносабати

$$\sigma_{ij} = C_{ijkl} \varepsilon_{ij} - \beta_{ij}(T - T_0) \delta_{ij} \quad (1.4.2)$$

ва умумий ҳолда иссиқлик ўтказувчанлик тенгламаси

$$\lambda_{ij} T_{,ij} - C_\varepsilon \dot{T} - T \cdot \beta_{ij} \cdot \dot{\varepsilon}_{ij} = 0 \quad (1.4.3)$$

бу ерда C_ε -доимий температурада иссиқлик сифими, β_{ij} - иссиқлик кенгайиши тензори, λ_{ij} -иссиқлик қуюми тензори.

Коши муносабати

$$\varepsilon_{ij} = \frac{1}{2} (u_{i,j} + u_{j,i}) \quad (1.4.4)$$

күйидаги бошланғич

$$u_i|_{t=t_0} = \varphi_i, \dot{u}_i|_{t=t_0} = \psi_i, T|_{t=t_0} = T_0 \quad (1.4.5)$$

ва чегаравий шартлардан ибор

$$u_i|_{\Sigma_1} = u_i^0, \quad T|_{\Sigma_1} = \bar{T}_0, \quad \sigma_{ij} n_j|_{\Sigma_2} = S_i^0 \quad (1.4.6)$$

(1.4.4) - тенгликтини (1.4.2) – муносабаттага қўйсак ва ҳосил бўлган ифодаларни (1.4.1) - тенгликтага қўйсак, кўчишларда ифодаланган ҳаракат тенгламаларига эга бўламиз. Умумий ҳолда (1.4.1)-(1.4.6) муносабатлар икки ўлчовли ҳолда қўйидаги қўринишни олади:

$$C_{1111} \frac{\partial^2 u}{\partial x^2} + (C_{1122} + C_{1212}) \frac{\partial^2 v}{\partial x \partial y} + C_{1212} \frac{\partial^2 u}{\partial y^2} - \beta_{11} \frac{\partial T}{\partial x} + X_1 = \rho \frac{\partial^2 u}{\partial t^2} \quad (1.4.7)$$

$$C_{1212} \frac{\partial^2 v}{\partial x^2} + (C_{1212} + C_{2211}) \frac{\partial^2 u}{\partial x \partial y} + C_{2222} \frac{\partial^2 v}{\partial y^2} - \beta_{22} \frac{\partial T}{\partial y} + X_2 = \rho \frac{\partial^2 v}{\partial t^2} \quad (1.4.8)$$

$$\lambda_{11} \frac{\partial^2 T}{\partial x^2} + \lambda_{22} \frac{\partial^2 T}{\partial y^2} - C_\varepsilon \frac{\partial T}{\partial t} - T (\beta_{11} \frac{\partial^2 u}{\partial x \partial t} + \beta_{22} \frac{\partial^2 v}{\partial y \partial t}) = 0 \quad (1.4.9)$$

мос равища бошланғич

$$u(x, y, t) \Big|_{t=0} = \varphi_1, \quad \frac{\partial u}{\partial t} \Big|_{t=0} = \psi_1, \quad (1.4.10)$$

$$v(x, y, t) \Big|_{t=0} = \varphi_2, \quad \frac{\partial v}{\partial t} \Big|_{t=0} = \psi_2, \quad T(x, y, t) \Big|_{t=0} = T_0$$

ва чегаравий шартлар

$$u(x, y, t) \Big|_{\Sigma} = u_0; \quad v(x, y, t) \Big|_{\Sigma} = v_0; \quad T(x, y, t) \Big|_{\Sigma} = \bar{T}_0(t) \quad (1.4.11)$$

Бу ерда C_{ijkl} , C_ε , β_{ij} , λ_{ij} , ρ – аниқ катталиклар, Σ – қаралаётган соңа чегараси, φ , ψ , T_0 , \bar{T} , u_0 , v_0 – берилған катталиклар ёки функциялар.

(1.4.7) - (1.4.9) масала чекли айирмали усуллар билан сонли ечилади [8,12,20].

I-боб бўйича хulosса

Диссертация ишининг биринчи бобида термоэластик масаланинг қўйилиши қелтирилади. Биринчи параграфда анизотроп жисмлар термоэластиклигининг асосий муносабатлари ҳақида қисқача тушунчалар берилган. Бобнинг иккинчи параграфида боғлиқ ва боғлиқ бўлмаган термоэластик масалалар келтирилган. Бобнинг учинчи параграфида изатроп ва анизотроп жисмлар учун боғлиқ бўлган масалаларнинг қўйилиши ҳақида тўхталиб ўтилган. Тўртинчи параграфда умумий ҳолда трансверсал изотроп жисмлар учун икки ўлчовли термоэластик масаланинг қўйилиши кўрсатилган.

П-БОБ. ТЕРМОЭЛАСТИК БОҒЛИҚ МАСАЛАЛАРНИ ЕЧИШГА ЧЕКЛИ АЙИРМАЛИ СХЕМАЛАРНИНГ ТАДБИҚИ

2.1. Ошкор ва ошкормас айирмали схемалар.

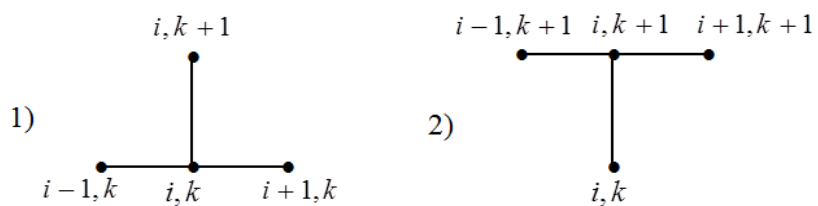
Тадқикот ишимизнинг бу бобида термоэластик жисмлар учун боғлиқ масалаларни ечишга чекли айирмали схемалани тадбиқ қилиш масалалари қаралади.

Умумий холда дифференциал масаланинг асосий тенгламасини ва қўшимча шартларини аппроксимация қилувчи айирмали тенгламалар системаси айирмали схемалар дейилади. Айирмали схеманинг аппроксимация хатолиги, турғунлиги, яқинлашиши ва аниқлиги айирмали схемалар назариясининг асосий тушунчалариdir.

Айирмали схемалар назариясининг асосий масаласи айирмали схеманинг аниқлиги унинг аппроксимация хатолиги, яқинлашиши ва турғунлигини ўрганишга олиб келади.

Функцияларни айирмали схемаларга келтириб уларнинг сонли ечимларини топиш учун ошкор ва ошкормас айирмали схемалардан фойдаланамиз.

Умумий холда ошкор ва ошкормас айирмали схемаларнинг бир ўлчовли жисм учун кўриниши қўйидагича:



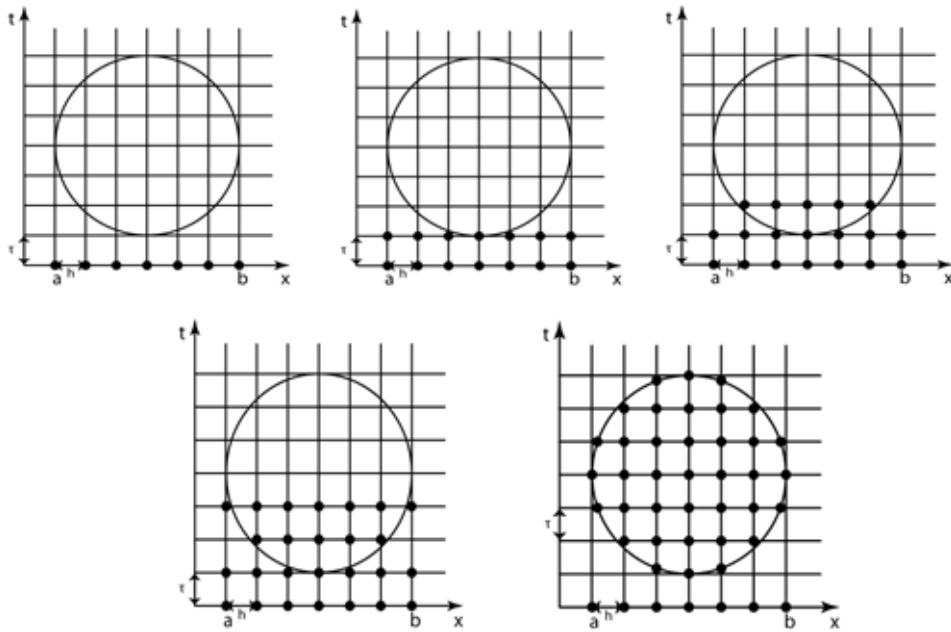
2.1.1-расм. бир ўлчовли жисм учун айирмали схемалар

$$y_i^{k+1} = y_i^k + \frac{\tau}{h^2} (y_{i-1}^k - 2y_i^k - y_{i+1}^k) \quad (2.1.1)$$

$$y_i^k = y_i^{k+1} + \frac{\tau}{h^2} (2y_i^{k+1} - y_{i+1}^{k+1} - y_{i-1}^{k+1}) \quad (2.1.2)$$

(2.1.1) ва (2.1.2) муносабатлар умумий холда ошкор ва ошкормас айрмали схемалар дейилади.

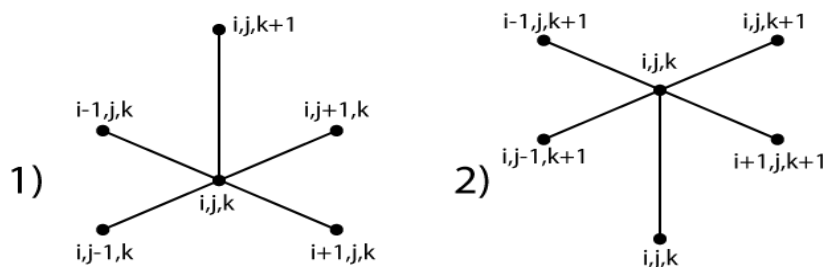
Айрмали схемани бир ўлчовли түғри стержин учун қуидаги тадбиқ қилишимиз мүмкін.



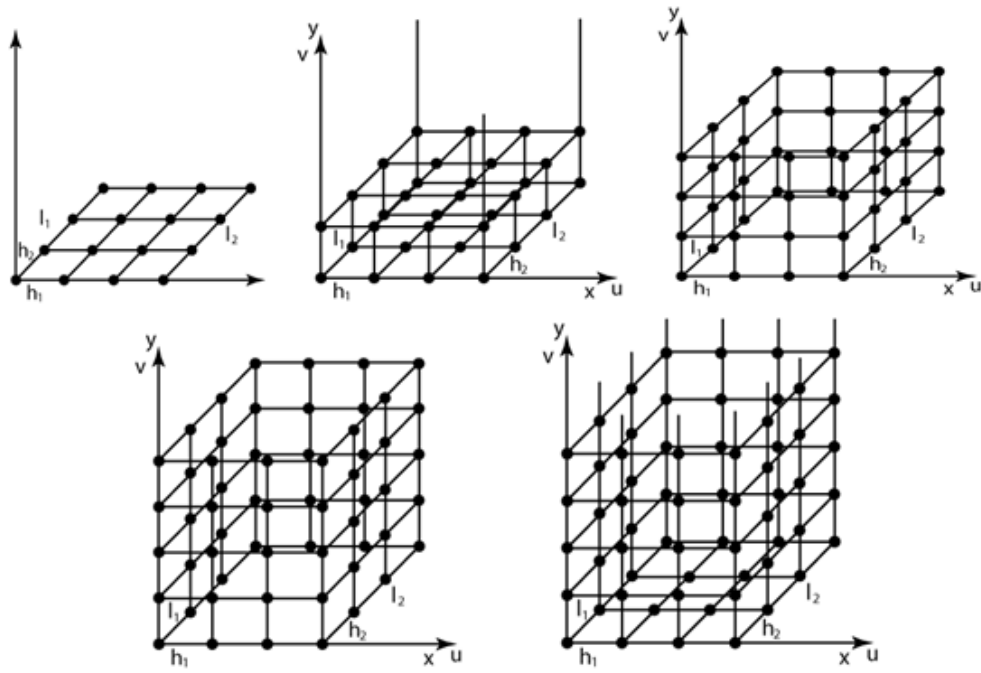
2.1.2-расм. Түрланган соха

2.1.2-расмдаги түрланган сохалар (2.1.1) ва (2.1.2) муносабатлар асосида хосил қилингандар.

Ошкор ва ошкормас айрмали схемаларнинг икки ўлчовли жисм учун күриниши қуидаги:



2.1.3-расм икки ўлчовли жисм учун айрмали схемалар 2.1.3-расмдаги схемалар асосида икки ўлчовли квадрат платина учун қуидаги тадбиқ қилишимиз мүмкін.



2.1.4-расм. Икки ўлчовли тўрланган соха

2.1.4-расмдаги икки ўлчовли квадрат пластиинанинг (2.1.1) ва (2.1.2) муносабатлар асосида тўрли соха хосил қилинган.

1-схемадан кўриниб турибдики, $k+1$ қатламдаги ечим k қатламдаги ечимлар орқали аниқ, ошкор шаклда ифодаланади. Шунинг учун бундай схемаларга *ошкор* схемалар дейилади. Ошкор схемаларда олдинги қатламдаги хатоликлар йиғиндиси кейинги қатламга ўтганлиги учун, бир неча қатламдан сўнг хатоликлар мажмуаси хосил бўлади ва кутилган натижа чиқмаслиги мумкин. Шунинг учун амалда ошкор схемалардан камроқ фойдаланган маъқул.

2-схемада эса хар бир қатламнинг учта нуқтадаги номаълум ечимлари, ўзидан олдинги яъни хар бир кейинги қатламдаги ечимларни олдинги қатламдаги 1 та ечим орқали ифодаланади, яъни хар бир кейинги қатламдаги ечимларни олдинги қатламдаги ечимлар орқали бевосита бирданига ошкор ҳолда ифодалаб бўлмайди. Бундай схемаларга *ошкормас* схемалар дейилади. Ошкормас схемада хар бир қатламдаги ҳисоблаш хатоликлари бошқа қатламга узатилмайди. Шунинг учун, бундай

схемаларда ҳосил бўлган ҳисоблаш формулалари бирмунча мураккаб бўйса ҳам, лекин хатолик кам бўлади [16].

2.2. Трансверсал изотроп жисмлар учун икки ўлчовли термоэластик масалага ошкор ва ошкормас айирмали схемаларнинг тадбиқи

1.4 – параграфда келтирилган Трансверсал изотроп жисмлар учун икки ўлчовли термоэластик масалага ошкор ва ошкормас айирмали схемаларни тадбиқ қилишни қараб чиқамиз.

$$\begin{cases} C_{1111} \frac{\partial^2 u}{\partial x^2} + C_{1122} \frac{\partial^2 u}{\partial x \partial y} + C_{1212} \left(\frac{\partial^2 u}{\partial y^2} + \frac{\partial^2 v}{\partial x \partial y} \right) - \beta_{11} \frac{\partial T}{\partial x} + X_1 = \rho \frac{\partial^2 u}{\partial t^2} \\ C_{2222} \frac{\partial^2 v}{\partial y^2} + C_{2211} \frac{\partial^2 u}{\partial x \partial y} + C_{1212} \left(\frac{\partial^2 v}{\partial x^2} + \frac{\partial^2 u}{\partial x \partial y} \right) - \beta_{22} \frac{\partial T}{\partial y} + X_2 = \rho \frac{\partial^2 v}{\partial t^2} \end{cases} \quad (2.2.1)$$

$$\lambda_{11} \frac{\partial^2 T}{\partial x^2} + \lambda_{22} \frac{\partial^2 T}{\partial y^2} - c_\varepsilon \frac{\partial T}{\partial t} - T (\beta_{11} \frac{\partial^2 u}{\partial x \partial t} + \beta_{22} \frac{\partial^2 v}{\partial y \partial t}) = 0 \quad (2.2.2)$$

мос равища бошланғич

$$u(x, y, t) \Big|_{t=0} = \varphi_1, \quad v(x, y, t) \Big|_{t=0} = \varphi_2, \\ \frac{\partial u}{\partial t} \Big|_{t=0} = \psi_1, \quad \frac{\partial v}{\partial t} \Big|_{t=0} = \psi_2, \quad T(x, y, t) \Big|_{t=0} = T_0 \quad (2.2.3)$$

ва чегаравий шартлар

$$u(x, y, t) \Big|_{\Sigma} = u_0; \quad v(x, y, t) \Big|_{\Sigma} = v_0; \quad T(x, y, t) \Big|_{\Sigma} = \bar{T}_0(t) \quad (2.2.4)$$

Бу ерда, C_{ijkl} , C_ε , β_{ij} , λ_{ij} , ρ – аниқ катталиклар, Σ – қаралаётган соҳа чегараси, φ , ψ , T_0 , \bar{T} , u_0 , v_0 – берилган катталиклар ёки функциялар.

Чекли айирмали тенгламаларга келтириш: Бизнинг асосий мақсадимиз масалани сонли ечиш алгоритмини қуришдан иборат. Бунинг учун биз юқорида ҳосил қилинган ҳусусий ҳосилали дифференциал тенгламаларни айирмали тенгламалар билан алмаштирамиз.

$$\begin{aligned}
\frac{\partial^2 u}{\partial x^2} &\approx \frac{u_{i+1,j}^n - 2u_{i,j}^n + u_{i-1,j}^n}{h_1^2} \\
\frac{\partial^2 v}{\partial y^2} &\approx \frac{v_{i,j+1}^n - 2v_{i,j}^n + v_{i,j-1}^n}{h_2^2} \\
\frac{\partial^2 v}{\partial x \partial y} &\approx \frac{u_{i+1,j+1}^n - u_{i-1,j+1}^n - u_{i+1,j-1}^n + u_{i-1,j-1}^n}{4h_1 h_2}
\end{aligned} \tag{2.2.5}$$

$$\frac{\partial^2 u}{\partial x \partial y} \approx \frac{v_{i+1,j+1}^n - v_{i-1,j+1}^n - v_{i+1,j-1}^n + v_{i-1,j-1}^n}{4h_1 h_2}$$

$$\frac{\partial T}{\partial x} \approx \frac{T_{i+1,j}^n - T_{i-1,j}^n}{2h_1}$$

$$\frac{\partial T}{\partial y} \approx \frac{T_{i,j-1}^n - T_{i,j+1}^n}{2h_2}$$

Икки ўлчовли ҳолда x ва y ўзгарувчилар бўйича сохани қуидаги аниқлаймиз:

$0 \leq x \leq l_1$, $0 \leq y \leq l_2$ иккита параллел тўғри чизиқлар оиласини курамиз, $x_i = ih_1$ ($i = \overline{0, n}$), $y_j = jh_2$ ($j = \overline{0, n}$) ва (2.2.1) ва (2.2.3) тенгламадаги ҳосилаларни (2.2.5) қуидаги айрмалар билан алмаштиrsак:

Қуидаги айрмали тенгламага эга бўламиз:

$$\begin{aligned}
&C_{1111} \frac{u_{i+1,j}^n - 2u_{i,j}^n + u_{i-1,j}^n}{h_1^2} + \\
&+ (C_{1122} + C_{1212}) \frac{v_{i+1,j+1}^n - v_{i-1,j+1}^n - v_{i+1,j-1}^n + v_{i-1,j-1}^n}{4h_1 h_2} + \\
&+ C_{1212} \frac{u_{i,j+1}^n - 2u_{i,j}^n + u_{i,j-1}^n}{h_2^2} - \beta_{11} \frac{T_{i+1,j}^n - T_{i-1,j}^n}{2h_1} = \rho \frac{u_{i,j}^{n+1} - 2u_{i,j}^n + u_{i,j}^{n-1}}{\tau^2}
\end{aligned} \tag{2.2.6}$$

$$C_{2222} \frac{v_{i,j+1}^n + 2v_{i,j}^n + v_{i,j-1}^n}{h_2^2} + \\ (C_{1212} + C_{2211}) \frac{u_{i+1,j+1}^n - u_{i-1,j+1}^n - u_{i+1,j-1}^n + u_{i-1,j-1}^n}{4h_1 h_2} + \\ + C_{1212} \frac{v_{i+1,j}^n - 2v_{i,j}^n + v_{i-1,j}^n}{h_1^2} - \beta_{22} \frac{T_{i,j-1}^n - T_{i,j-1}^n}{2h_2} = \rho \frac{v_{i,j}^{n+1} - 2v_{i,j}^n + v_{i,j}^{n-1}}{\tau^2} \quad (2.2.7)$$

$$\lambda_{11} \frac{T_{i+1,j}^n - 2T_{i,j}^n + T_{i-1,j}^n}{h_1^2} + \lambda_{22} \frac{T_{i,j+1}^n - 2T_{i,j}^n + T_{i,j-1}^n}{h_2^2} - \\ - C_\varepsilon \frac{T_{i,j}^{n+1} - T_{i,j}^n}{\tau} - T_0 (\beta_{11} \frac{u_{i+1,j}^{n+1} - u_{i-1,j}^{n+1} - u_{i+1,j}^{n-1} + u_{i-1,j}^{n-1}}{4h_1 \tau} + \\ + \beta_{22} \frac{v_{i,j+1}^{n+1} - v_{i,j-1}^{n+1} - v_{i,j+1}^{n-1} + v_{i,j-1}^{n-1}}{4h_2 \tau}) = 0 \quad (2.2.8)$$

Бу алмаштиришлардан сўнг бошланғич шартлар қуйидагида бўлади,

$$u_{i,j,0}(x, y, t) \Big|_{t=0} = \varphi_1, \quad v_{i,j,0}(x, y, t) \Big|_{t=0} = \varphi_2,$$

$$\left. \frac{u_{i,j}^1 - u_{i,j}^0}{\tau} \right|_{t=0} = \psi_1 \quad \left. \frac{v_{i,j}^1 - v_{i,j}^0}{\tau} \right|_{t=0} = \psi_2 \quad T_{i,j}^0(x, y, t) \Big|_{t=0} = T_0 \quad (2.2.9)$$

ва чегаравий шартлар

$$u(x, y, t) \Big|_{\sum} = u_0; \quad v(x, y, t) \Big|_{\sum} = v_0; \quad T(x, y, t) \Big|_{\sum} = \bar{T}_0(t) \quad (2.2.10)$$

шундай қўринишда бўлади. Юқоридаги (2.2.6)-(2.2.7) ва (2.2.8) тенламалар (2.2.9)-бошланғич ва (2.2.10)-чегаравий шартлар билан сонли ечилади.

Умумий холда ошкормас схеманинг қўриниши:

$$\frac{\partial^2 u}{\partial x^2} \approx \frac{u_{i+1,j}^{n+1} - 2u_{i,j}^{n+1} + u_{i-1,j}^{n+1}}{h_1^2} \\ \frac{\partial^2 v}{\partial x^2} \approx \frac{v_{i+1,j}^{n+1} - 2v_{i,j}^{n+1} + v_{i-1,j}^{n+1}}{h_2^2} \\ \frac{\partial^2 T}{\partial x^2} \approx \frac{T_{i+1,j}^{n+1} - 2T_{i,j}^{n+1} + T_{i-1,j}^{n+1}}{h_1^2} \quad (2.2.11)$$

(2.2.6)-(2.2.7) ва (2.2.8) - масалаларга (2.2.11) даги ошкормас схемаларни қўлласак, қўйидаги қўринишга келади ва қўйидаги айирмали тенгламага эга бўламиз:

$$C_{1111} \frac{u_{i+1,j}^{n+1} - 2u_{i,j}^{n+1} + u_{i-1,j}^{n+1}}{h_1^2} + \\ + (C_{1122} + C_{1212}) \frac{v_{i+1,j+1}^n - v_{i-1,j+1}^n - v_{i+1,j-1}^n + v_{i-1,j-1}^n}{4h_1 h_2} + + \quad (2.2.12)$$

$$C_{1212} \frac{u_{i,j+1}^n - 2u_{i,j}^n + u_{i,j-1}^n}{h_2^2} - \beta_{11} \frac{T_{i+1,j}^n - T_{i-1,j}^n}{2h_1} = \rho \frac{u_{i,j}^{n+1} - 2u_{i,j}^n + u_{i,j}^{n-1}}{\tau^2} \\ C_{2222} \frac{v_{i,j+1}^n + 2v_{i,j}^n + v_{i,j-1}^n}{h_2^2} + \\ + (C_{1212} + C_{2211}) \frac{u_{i+1,j+1}^n - u_{i-1,j+1}^n - u_{i+1,j-1}^n + u_{i-1,j-1}^n}{4h_1 h_2} + \quad (2.2.13)$$

$$+ C_{1212} \frac{v_{i+1,j}^{n+1} - 2v_{i,j}^{n+1} + v_{i-1,j}^{n+1}}{h_1^2} - \beta_{22} \frac{T_{i,j-1}^n - T_{i,j-1}^n}{2h_2} = \rho \frac{v_{i,j}^{n+1} - 2v_{i,j}^n + v_{i,j}^{n-1}}{\tau^2} \\ \lambda_{11} \frac{T_{i+1,j}^{n+1} - 2T_{i,j}^{n+1} + T_{i-1,j}^{n+1}}{h_1^2} + \lambda_{22} \frac{T_{i,j+1}^n - 2T_{i,j}^n + T_{i,j-1}^n}{h_2^2} - \\ - C_\varepsilon \frac{T_{i,j}^{n+1} - T_{i,j}^n}{\tau} - T_0 (\beta_{11} \frac{u_{i+1,j}^{n+1} - u_{i-1,j}^{n+1} - u_{i+1,j}^{n-1} + u_{i-1,j}^{n-1}}{4h_1 \tau} + \\ + \beta_{22} \frac{v_{i,j+1}^{n+1} - v_{i,j-1}^{n+1} - v_{i,j+1}^{n-1} + v_{i,j-1}^{n-1}}{4h_2 \tau}) = 0 \quad (2.2.14)$$

Келтирилган ошкормас схемалар учун ҳам бошланғич ва чегаравий шартлар юқоридагидек бўлади. Ошкормас айирмали схемалар ёрдамида ҳосил бўлган тенгламаларни хайдаш (прогонка) усули ёрдамида ишласа бўлади [8,11].

2.3. Трансверсал изотроп жисмлар учун икки ўлчовли термоэластик масалани чекли айирмалар усули билан сонли ечиш

Қуйида Трансверсал изотроп жисмлар учун термоэластик масаланинг динамик боғлиқлигининг математик модели ва бу модельни сонли ечиш қаралади. Трансверсал изотроп жисмлар учун боғлиқ динамик масаланинг икки ўлчовли ҳолда ҳаракат тенгламалари қўйидагича:

$$C_{1111} \frac{\partial^2 u}{\partial x^2} + (C_{1122} + C_{1212}) \frac{\partial^2 v}{\partial x \partial y} + C_{1212} \frac{\partial^2 u}{\partial y^2} - \beta_{11} \frac{\partial T}{\partial x} + X_1 = \rho \frac{\partial^2 u}{\partial t^2} \quad (2.3.1)$$

$$C_{1212} \frac{\partial^2 v}{\partial x^2} + (C_{1212} + C_{2211}) \frac{\partial^2 u}{\partial x \partial y} + C_{2222} \frac{\partial^2 v}{\partial y^2} - \beta_{22} \frac{\partial T}{\partial y} + X_2 = \rho \frac{\partial^2 v}{\partial t^2} \quad (2.3.2)$$

Трансверсал изотроп жисмлар учун иссиқлик тарқалиши тенгламаси:

$$\lambda_{11} \frac{\partial^2 T}{\partial x^2} + \lambda_{22} \frac{\partial^2 T}{\partial y^2} - C_\varepsilon \frac{\partial T}{\partial t} - T (\beta_{11} \frac{\partial^2 u}{\partial x \partial t} + \beta_{22} \frac{\partial^2 v}{\partial y \partial t}) = 0 \quad (2.3.3)$$

бу тенглама учун бошланғич шартлар қўйидагича

$$u(x, y, t) \Big|_{t=0} = \varphi_1, \quad \left. \frac{\partial u}{\partial t} \right|_{t=0} = \psi_1, \quad (2.3.4)$$

$$v(x, y, t) \Big|_{t=0} = \varphi_2, \quad \left. \frac{\partial v}{\partial t} \right|_{t=0} = \psi_2, \quad T(x, y, t) \Big|_{t=0} = T_0$$

ва чегаравий шартлар

$$u(x, y, t) \Big|_{x=0} = u_0; \quad u(x, y, t) \Big|_{x=\ell_1} = \bar{u}_0; \quad u(x, y, t) \Big|_{y=0} = u'_0;$$

$$u(x, y, t) \Big|_{y=\ell_2} = \bar{u}'_0; \quad v(x, y, t) \Big|_{x=0} = v_0; \quad v(x, y, t) \Big|_{x=\ell_1} = \bar{v}_0; \quad (2.3.5)$$

$$v(x, y, t) \Big|_{y=0} = v'_0; \quad v(x, y, t) \Big|_{y=\ell_2} = \bar{v}'_0; \quad T(x, y, t) \Big|_{x=0} = T_1(t);$$

$$T(x, y, t) \Big|_{x=\ell_1} = T_2(t); \quad T(x, y, t) \Big|_{y=0} = T'_1(t); \quad T(x, y, t) \Big|_{y=\ell_2} = T'_2(t).$$

Бу ерда: σ_{ij} - кучлар тензори, X_i -хажмий кучлар, C_{ijkl} - жисмни характерловчи параметрлари, ε_{ij} - деформациялар тензори, β_{ij} - хажмий иссиқлик кенгайиши коэффициенти, δ_{ij} - Кронекер символи,

$$\text{бунда; } \delta_{ij} = \begin{cases} 1 & , \quad i=j \\ 0 & , \quad i \neq j \end{cases}$$

C_ε - доимий температурада иссиқлик сифими, β_{ij} - иссиқлик кенгайиши тензори, λ_{ij} - иссиқлик қуюми тензори ва Коши муносабати, T - температура, ρ - жисм зичлиги;

$t \geq 0$, $0 \leq x \leq l_1$, $0 \leq y \leq l_2$ да 3та: $x = ih_1$, ($i = \overline{0, k}$), $y = jh_2$ ($j = \overline{0, k}$), $t = n\tau$ ($n = 0, 1, 2, \dots$) праллел түғри чизиклар оиласини қуриб (2.3.1) - (2.3.3) тенгламаларни турли муносабатларда уларнинг ҳосилалариға алмаштирамиз.

$$\begin{aligned} C_{1111} \frac{u_{i+1,j}^n - 2u_{i,j}^n + u_{i-1,j}^n}{h_1^2} + \\ + (C_{1122} + C_{1212}) \frac{v_{i+1,j+1}^n - v_{i-1,j+1}^n - v_{i+1,j-1}^n + v_{i-1,j-1}^n}{4h_1 h_2} + \\ + C_{1212} \frac{u_{i,j+1}^n - 2u_{i,j}^n + u_{i,j-1}^n}{h_2^2} - \beta_{11} \frac{T_{i+1,j}^n - T_{i-1,j}^n}{2h_1} = \rho \frac{u_{i,j}^{n+1} - 2u_{i,j}^n + u_{i,j}^{n-1}}{\tau^2} \end{aligned} \quad (2.3.6)$$

$$\begin{aligned} C_{2222} \frac{v_{i,j+1}^n + 2v_{i,j}^n + v_{i,j-1}^n}{h_2^2} + \\ + (C_{1212} + C_{2211}) \frac{u_{i+1,j+1}^n - u_{i-1,j+1}^n - u_{i+1,j-1}^n + u_{i-1,j-1}^n}{4h_1 h_2} + \\ + C_{1212} \frac{v_{i+1,j}^n - 2v_{i,j}^n + v_{i-1,j}^n}{h_1^2} - \beta_{22} \frac{T_{i,j+1}^n - T_{i,j-1}^n}{2h_2} = \rho \frac{v_{i,j}^{n+1} - 2v_{i,j}^n + v_{i,j}^{n-1}}{\tau^2} \end{aligned} \quad (2.3.7)$$

$$\begin{aligned} \lambda_{11} \frac{T_{i+1,j}^n - 2T_{i,j}^n + T_{i-1,j}^n}{h_1^2} + \lambda_{22} \frac{T_{i,j+1}^n - 2T_{i,j}^n + T_{i,j-1}^n}{h_2^2} - \\ - C_\varepsilon \frac{T_{i,j}^{n+1} - T_{i,j}^n}{\tau} - T_0 (\beta_{11} \frac{u_{i+1,j}^{n+1} - u_{i-1,j}^{n+1} - u_{i+1,j}^{n-1} + u_{i-1,j}^{n-1}}{4h_1 \tau} + \\ + \beta_{22} \frac{v_{i,j+1}^{n+1} - v_{i,j-1}^{n+1} - v_{i,j+1}^{n-1} + v_{i,j-1}^{n-1}}{4h_2 \tau}) = 0 \end{aligned} \quad (2.3.8)$$

Юқоридаги (2.3.6) - (2.3.7) ва (2.3.8) - тенгламалардан $u_{i,j}^{n+1}$, $v_{i,j}^{n+1}$, $T_{i,j}^{n+1}$ ларни топамиз.

$$u_{i,j}^{n+1} = \frac{\tau^2}{\rho} (C_{1111} \frac{u_{i+1,j}^n - 2u_{i,j}^n + u_{i-1,j}^n}{h_1^2} + \\ + (C_{1122} + C_{1212}) \frac{v_{i+1,j+1}^n - v_{i-1,j+1}^n - v_{i+1,j-1}^n + v_{i-1,j-1}^n}{4h_1 h_2} + \\ + C_{1212} \frac{u_{i,j+1}^n - 2u_{i,j}^n + u_{i,j-1}^n}{h_2^2} - \beta_{11} \frac{T_{i+1,j}^n - T_{i-1,j}^n}{2h_1}) + 2u_{i,j}^n - u_{i,j}^{n-1}$$
(2.3.9)

$$v_{i,j}^{n+1} = \frac{\tau^2}{\rho} (C_{2222} \frac{v_{i,j+1}^n + 2v_{i,j}^n + v_{i,j-1}^n}{h_2^2} + \\ + (C_{1212} + C_{2211}) \frac{u_{i+1,j+1}^n - u_{i-1,j+1}^n - u_{i+1,j-1}^n + u_{i-1,j-1}^n}{4h_1 h_2} + \\ + C_{1212} \frac{v_{i+1,j}^n - 2v_{i,j}^n + v_{i-1,j}^n}{h_1^2} - \beta_{22} \frac{T_{i,j-1}^n - T_{i,j+1}^n}{2h_2}) + 2v_{i,j}^n - v_{i,j}^{n-1}$$
(2.3.10)

$$T_{i,j}^{n+1} = \frac{\tau}{c_\varepsilon} (\lambda_{11} \frac{T_{i+1,j}^n - 2T_{i,j}^n + T_{i-1,j}^n}{h_1^2} + \lambda_{22} \frac{T_{i,j+1}^n - 2T_{i,j}^n + T_{i,j-1}^n}{h_2^2} - \\ - T_0 (\beta_{11} \frac{u_{i+1,j}^{n+1} - u_{i-1,j}^{n+1} - u_{i+1,j}^{n-1} + u_{i-1,j}^{n-1}}{4h_1 \tau} + \beta_{22} \frac{v_{i,j+1}^{n+1} - v_{i,j-1}^{n+1} - v_{i,j+1}^{n-1} + v_{i,j-1}^{n-1}}{4h_2 \tau})) + T_{i,j}^n$$
(2.3.11)

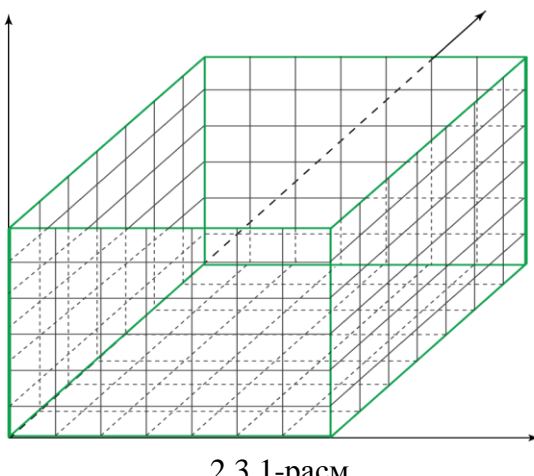
(2.3.9)-(2.3.11) тенгламалар t^{n+1} қатламда $u(x, y, t), v(x, y, t), T(x, y, t)$ функцияларнинг қийматларини топишга имкон беради, агар олдинги 2 та қатламнинг қиймати маълум бўлса, 2 та бошланғич қатламлардаги $n = 0$ ва $n = 1$ бошланғич шартлардан $u(x, y, t)$ ва $v(x, y, t)$ функцияларнинг қийматини топамиз, $T(x, y, t)$ функциянинг қийматини эса 1-қатламда (2.3.11) муносабатдаги аралаш ҳосилани бошқа муносабатга алмаштириш орқали топамиз.

$$u_{i,j}^1 = \frac{\tau^2}{\rho} (C_{1111} \frac{u_{i+1,j}^0 - 2u_{i,j}^0 + u_{i-1,j}^0}{h_1^2} + \\ + (C_{1122} + C_{1212}) \frac{v_{i+1,j+1}^0 - v_{i-1,j+1}^0 - v_{i+1,j-1}^0 + v_{i-1,j-1}^0}{4h_1 h_2} + \\ + C_{1212} \frac{u_{i,j+1}^0 - 2u_{i,j}^0 + u_{i,j-1}^0}{h_2^2} - \beta_{11} \frac{T_{i+1,j}^0 - T_{i-1,j}^0}{2h_1}) + 2u_{i,j}^0 - u_{i,j}^{-1}$$
(2.3.12)

$$\begin{aligned}
v_{i,j}^1 = & \frac{\tau^2}{\rho} \left(C_{2222} \frac{v_{i,j+1}^0 + 2v_{i,j}^0 + v_{i,j-1}^0}{h_2^2} + \right. \\
& + \left(C_{1212} + C_{2211} \right) \frac{u_{i+1,j+1}^0 - u_{i-1,j+1}^0 - u_{i+1,j-1}^0 + u_{i-1,j-1}^0}{4h_1 h_2} + \\
& + C_{1212} \frac{v_{i+1,j}^0 - 2v_{i,j}^0 + v_{i-1,j}^0}{h_1^2} - \beta_{22} \frac{T_{i,j-1}^0 - T_{i,j+1}^0}{2h_2}) + 2v_{i,j}^0 - v_{i,j}^1
\end{aligned} \tag{2.3.13}$$

$$\begin{aligned}
T_{i,j}^1 = & \frac{\tau}{c_\varepsilon} \left(\lambda_{11} \frac{T_{i+1,j}^0 - 2T_{i,j}^0 + T_{i-1,j}^0}{h_1^2} + \right. \\
& + \lambda_{22} \frac{T_{i,j+1}^0 - 2T_{i,j}^0 + T_{i,j-1}^0}{h_2^2} - T_0 (\beta_{11} \frac{u_{i+1,j}^1 - u_{i-1,j}^1 - u_{i+1,j}^{-1} + u_{i-1,j}^{-1}}{4h_1 \tau} + \\
& \left. + \beta_{22} \frac{v_{i,j+1}^1 - v_{i,j-1}^1 - v_{i,j+1}^{-1} + v_{i,j-1}^{-1}}{4h_2 \tau}) \right) + T_{i,j}^0
\end{aligned} \tag{2.3.14}$$

(2.3.12)-тenglamani $u(x, y, t)|_{x=\ell_1} = u_0$, $u(x, y, t)|_{x=\ell_1} = \bar{u}_0$, чегаравий шартлар билан, (2.3.13)-тenglamani $v(x, y, t)|_{x=0} = v_0$, $v(x, y, t)|_{x=\ell_1} = \bar{v}_0$ чегаравий шартлар билан (2.3.14)-тenglamani $T(x, y, t)|_{x=0} = T_1(t)$, $T(x, y, t)|_{x=0} = T_2(t)$ чегаравий шартлар билан бирга, тўрлар методи билан ечилиган.



2.3.1-расм

Келтирилган 2.3.1-расмда икки ўлчовли жисм ҳолати учун юкоридаги (2.3.12)- (2.3.13) ва (2.3.14) тенгламалар асосида қурилган тўр соҳа келтирилган [25,27].

II-боб бүйича хulosса

Диссертация ишининг иккинчи бобида термоэластик боғлиқ масалаларни ечишга чекли айрмали схемаларни тадбиқ қилишга бағишиланган. Бобнинг биринчи параграфида ошкор ва ошкормас айрмали схемалар ҳақида қисқача тушунчалар берилган. Ишнинг иккинчи параграфида трансверсал изотроп жисмлар учун икки ўлчовли термоэластик масалаларга ошкор ва ошкормас айрмали схемаларнинг тадбиқ қилиш усуллари келтирилган. Учинчи параграфда трансверсал изотроп жисмлар учун икки ўлчовли термоэластик масалани чекли айрмалар усули билан сонли ечиш алгоритми яратилган.

Ш-БОБ. АНИЗОТРОП ЖИСМЛАР УЧУН ИККИ ЎЛЧОВЛИ ТЕРМОЭЛАСИК БОҒЛИҚ МАСАЛАНИ СОНЛИ ЕЧИШНИНГ ПРОГРАММА ТАЪМИНОТИ

3.1. Дастурний таъминотнинг асосий функциялар тавсифи

Анизотроп жисмлар учун икки ўлчовли термоэластик боғлиқ масалани сонли ечишнинг дастурний таъминотини яратишда C++ Builder 6 дастурлаш тилидан фойдаланилган.



3.1.1-расм. Дастурнинг тузилиш структураси

Кўйилган масалани ечишда қўйидаги асосий функциялардан фойдаланилган:

Unit1 да қатнашадиган асосий функциялар;

void __fastcall TForm1::Natija1Click(TObject *Sender)- асосий функция **u,v,t** ни ҳисблайди ва қўйидаги жадвал компоненталарига чиқаради.

StringGrid1 жадвал компонентасига **u** ни чиқаради.

StringGrid2 жадвал компонентасига **v** ни чиқаради.

void __fastcall TForm1::X1Click(TObject *Sender)- функцияси қўйидаги вазифаларни бажаради.

u нинг қийматини **X** ўқига нисбатан графигини **Chart1** компонентаси ёрдамида **Form2** га чиқарип беради.

v нинг қийматини **X** ўқига нисбатан графигини **Chart2** компонентаси ёрдамида **Form2** га чиқарип беради.

t нинг қийматини **X** ўқига нисбатан графигини **Chart3** компонентаси ёрдамида **Form2** га чиқарип беради.

void __fastcall TForm1::Graphic2Click(TObject *Sender)- функцияси қуйидаги вазифаларни бажаради.

u нинг қийматини **Y** ўқига нисбатан графигини **Chart1** компонентаси ёрдамида **Form2** га чиқарип беради.

v нинг қийматини **Y** ўқига нисбатан графигини **Chart2** компонентаси ёрдамида **Form2** га чиқарип беради.

t нинг қийматини **Y** ўқига нисбатан графигини **Chart3** компонентаси ёрдамида **Form2** га чиқарип беради.

void __fastcall TForm1::t1Click(TObject *Sender)- функцияси қуйидаги вазифаларни бажаради.

u нинг қийматини **T** га нисбатан графигини **Chart1** компонентаси ёрдамида **Form2** га чиқарип беради.

v нинг қийматини **T** га нисбатан графигини **Chart2** компонентаси ёрдамида **Form2** га чиқарип беради.

t нинг қийматини **T** га нисбатан графигини **Chart3** компонентаси ёрдамида **Form2** га чиқарип беради.

void __fastcall TForm1::Saqlash1Click(TObject *Sender)- функцияси қуйидаги вазифаларни бажаради. Бунда хисобланган **u,v,t** ларнинг қийматини **natija.txt** файлiga сақлайди.

void __fastcall TForm1::Ochish1Click(TObject *Sender)- функцияси қуйидаги вазифаларни бажаради. Бу функция **naitja.txt** файлини очиб беради.

void __fastcall TForm1::KORISH1Click(TObject *Sender)- функцияси қуийдаги вазифаларни бажаради. Бу функция орқали натижаларнинг визуал кўринишини тасвирловчи **Form3** компонентасини чақирилади.

Unit3 да қатнашадиган асосий функциялар;

void _boya(double *x,double *y,double *p)-функцияси **x,y,p** қийматларига нисбатан соҳани бўяб беради. Бунда **x,y** чекли элемент координаталари **p,u,v** ёки **t** нинг қийматлари бўлиши мумкин.

void _clear()- функцияси экранни тозалайди.

void _chizish()- функцияси кўриб чиқилаётган соҳанинг бошланғич ҳолати чизиб беради.

void _chizishU()- функцияси соҳани **u** нинг қийматларига нисбатан бўяб беради.

void _chizishV()- функцияси соҳани **v** нинг қийматларига нисбатан бўяб беради.

void _chizishT()- функцияси соҳани **t** нинг қийматларига нисбатан бўяб беради.

void _TForm3::uv()-функцияси силжиш коефицентини чиқариб беради.

void _TForm3::element_draw(int i,int j)- функцияси **u,v** функциясидан чақирилган бўлиб, **i** ва **j** га нисбатан силжиш қийматларини қараб чиқаради.

void _hisoblash()- функцияси визуал кўриниши учун керак бўладиган **arrayU, arrayV, arrayT** ларни ҳисоблайди.

Яратилган ушбу функциялар асосида кейинги параграфда келтирилган асосий дастур ишчи ойнаси ва унда жойлашган менюлар ва тугмачаларнинг ишлаш структурасини яратади.

3.2. Дастурий таъминотдан фойдаланиш

Дастурни ишга тушириш билан экранда асосий форма пайдо бўлади ва унинг кўриниши қўйидагича:

The screenshot shows a software window titled "Qo'yilgan masalani yechishning forma ko'rinishi". The menu bar includes "FAYL", "NATIJA", "GRAFIK", and "CHIZISH". On the left, there is a vertical list of parameters with input fields: Lyambda11, Lyambda22, Betta11, Betta22, C111, C112, C121, C222, Ro, Ce, T0, h1, h2, tao, and n. The main area contains two tables: "U ning qiyatlari" and "V ning qiyatlari", each with four columns. On the right, there is a vertical toolbar with buttons for "NATIJA" (Natija, Saqlash, Ochish), "GRAFIK" (X o'qi bo'yicha o'zgarishi, Y o'qi bo'yicha o'zgarishi, T ning vaqt bo'yicha o'zgarishi, U,V,T bo'yicha grafik holati), and a large empty space.

3.2.1-расм. Асосий форманинг умумий кўриниши.

Асосий форма 4 та менюдан иборат бўлиб, **FAYL** бўлими, **NATIJA** бўлими **GRAFIK** бўлими ва **CHIZISH** бўлимидан ташкил топган.

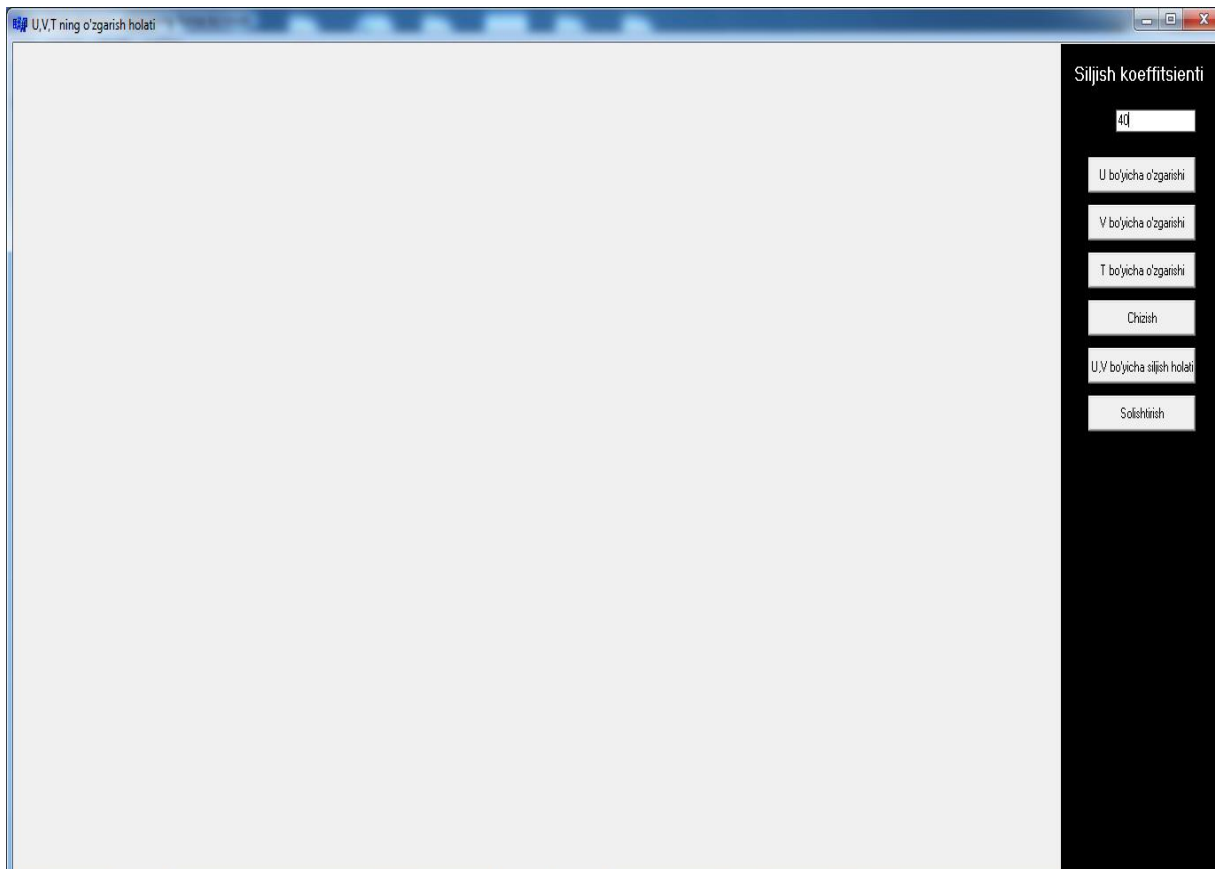
1-FAYL менюсида фақат **Chiqish (Ctrl+W)** бўлими яратилган бўлиб, бу бўлимда дастур ишчи ойнасидан чиқиш вазифаси юклатилган.

2-NATIJA менюси 3 та тутмадан иборат: **Natija (Ctrl+R)** бу бўлимда олинган натижалар дастур ойнасида жадвал кўринишида чиқарилади, **Saqlash (Ctrl+S)** бу бўлимда натижалар natija.txt файлига сақланади, **Ochish (Ctrl+O)** олинган натижа natija.txt файлига сақлайди ва сақланган **natija.txt** файлни очиб беради.

3-GRAFIK менюси ҳам учта бўлимдан ташкил топган бўлиб, булар **X o'qi bo'yicha o'zgarishi (Ctrl+X)** бу бўлимда олинган натижалар асосида графикнинг координатадаги **X** ўқи бўйича чизмаси чиқарилади, **Y o'qi**

bo'yicha o'zgarishi (Ctrl+Y) бу бўлимда олинган натижалар асосида графикнинг координатадаги **Y** ўқи бўйича чизмаси чиқарилади, **T ning vaqt bo'yicha o'zgarishi (Ctrl+T)** бу бўлимда олинган натижалар асосида графикнинг координатадаги **Vaqt** бўйича ўзгариши чизмаси чиқарилади.

4-CHIZISH менюси фақат **Ko'rish** бўлимидан ташкил топган бўлиб, бу бўлим очилганда **U,V,T ning o'zgarish holati** дастур ойнаси очилади ва унинг кўриниши қўйидагича:



3.2.2-расм. **U,V,T ning o'zgarish holati** дастур ойнаси

Бу очилган ойна қўйидаги тугмалардан ташкил топган **Siljish koeffitsienti**, **U bo'yicha o'zgarishi**, **V bo'yicha o'zgarishi**, **T bo'yicha o'zgarishi**, **CHIZISH**, **U,V bo'yicha siljish holati**, **Solishtirish** тугмаларидан ташкил топган. Кўйилган бу тугмачалар қўйидаги вазифаларни бажаради:

Siljish koeffitsienti тугмаси орқали квадрат пластинанинг силжиш коеффицентини ўзgartиришими мумкин. **U bo'yicha o'zgarishi** тугмаси орқали квадрат пластинанинг **X** ўқи бўйича дастлабки холатини кўришишимиз мумкин. **V bo'yicha o'zgarishi** тугмаси орқали квадрат

пластинанинг **Y** ўқи бўйича дастлабки холатини кўришимиз мумкин. **T bo'yicha o'zgarishi** тугмаси орқали квадрат пластинага кўйилган температуранинг таъсир доирасининг дастлабки холатини кўришимиз мумкин. **CHIZISH** тугмаси орқали квадрат пластина инг дастлабки холатини кўриш мумкин. **U,V bo'yicha siljish holati** ва **Solishtirish** тугмачалари орқали **U,V** бўйича ўзгаришини ва дастлабки холати билан температура таъсир қилгандан кейинги холатини кўриш мумкин.

Менюлар сатридан ташқари дастур ойнасининг ўнг қисмida фойдаланувчига қулайлик яратиш мақсадида **NATIJA**, **GRAFIK** менюлари яратилган.



3.2.3-расм. **NATIJA** ва **GRAFIK** менюларининг кўриниши.

NATIJA- менюси уч тугмадан ташкил топган бўлиб, булар **Natija**, **Saqlash**, **Ochish** тугмаларидан иборат.

GRAFIK- менюси ҳам учта тугмадан иборат бўлиб, булар **X o'qi bo'yicha o'zgarishi**, **Y o'qi bo'yicha o'zgarishi** (**Ctrl+Y**), **T ning vaqt bo'yicha o'zgarishi** (**Ctrl+T**), ва **U,V,T bo'yicha grafik holati** тугмаларидан ташкил топган бўлиб, бу тугмалар ҳам юқорида келтирилган вазифаларни бажаради.

O'ZGARMAS SONLAR	
Lyambda11:	<input type="text"/>
Lyambda22:	<input type="text"/>
Betta11:	<input type="text"/>
Betta22:	<input type="text"/>
C1111:	<input type="text"/>
C1122:	<input type="text"/>
C1212:	<input type="text"/>
C2222:	<input type="text"/>
Ro:	<input type="text"/>
Ce:	<input type="text"/>
T0:	<input type="text"/>
h1:	<input type="text"/>
h2:	<input type="text"/>
tao:	<input type="text"/>
n:	<input type="text"/>

3.2.4-расм. **O'ZGARMAS SONLAR** менюсининг кўриниши.

Бу келтирилган меню орқали тенгламага киритиладиган ўзгармас сонлар рўйхати киритилади.

Асосий формасида яна **U ning qiymatlari** ва **V ning qiymatlari** жадвалини күрсатуви ечимлар ойнаси күрсатилган.

Uning qiymatlari					

3.2.5-расм. **U ning qiymatlari** жадвали ойнасининг кўриниши.

3.2.5-расмдаги жадвалда тенгламаларни хисоблаш натижасида U ning **qiymatlari** ечимлар жадвали экранга чиқади.

V ning qiymatlari

3.2.6-расм. V ning qiymatlari жадвали ойнасининг кўриниши.

3.2.6-расмдаги жадвалда тенгламаларни хисоблаш натижасыда V ning qiymatları ечимлар жадвали экранга чиқади..

Асосий ишчи ойнадаги **O'ZGARMAS SONLAR** менюсига кейинги параграфдаги қийматлар киритилиб натижалар олинади.

3.3. Киритилувчи константалар

Бу параграфда тенгламага киритилувчи константалар рўйхати келтирилган ва улар куйидагилардан иборат.

Lyambda11, Lyambda22 - Иссиқлик қуюмі тензорлары.

Betta11, Betta22 - Биринчи ва иккинчи ҳаракат тенгламасидаги ҳажмий иссиқлик көнгайиши коэффициентлари.

C1111, C1122, C1212, C2222 - жисмни характерловчи параметрлари.

Ro – Жисм зичлиги.

С_е – Доимий темпратуралдаги иссиқлик сифими.

T₀-Жисмга қўйиладиган темпратураси.

h₁ - X ўки бүйича түгүн нүкталар орасидаги баландлик.

h₂ - Ыкі бүйіча тұгын нұкталар орасидаги баландлик.

tao - Каламларнинг вакт оралиғи.

п - Кадамдар сони.

Бу келтирилган ўзгармас сонлар асосий дастур ойнасида кўрсатилган
O'ZGARMAS SONLAR менюсига киритилиди.

Бу келтирилган ўзгармас сонларнинг сон қийматларини киритиб оламиз, улар қўйидагича:

**Lyambda11 - 0.5, Lyambda22 - 0.3, Betta11 - 0.05, Betta22 – 0.09,
C1111 – 0.75, C1122 – 0.91, C1212 – 0.9, C2222 – 0.89,
Ro – 1.1, Ce – 3.4, T₀ – 5, h₁ – 0.1, h₂ – 0.1, tao – 0.01, n – 10.**

Бу сонлар асосий дастур ойнасидаги **O'ZGARMAS SONLAR** менюсига қўйидагича киритилади.

O'ZGARMAS SONLAR	
Lyambda11:	0,5
Lyambda22:	0,3
Betta11:	0,05
Betta22:	0,09
C1111:	0,75
C1122:	0,91
C1212:	0,9
C2222:	0,89
Ro:	1,1
Ce:	3,4
T0:	5
h1:	0,1
h2:	0,1
tao:	0,01
n:	10

3.3.1-расм. **O'ZGARMAS SONLAR** менюсининг тўлдирилган қўриниши.

Бу киритилган сонлар асосида кейинги параграфимизда хисоблаш экспериментини ўтказамиз.

3.4. Ҳисоблаш эксперименти

Бу параграфда киритилган сонлар асосида қуйидаги натижаларни оламиз:

U ning qiymatlari												
0	0	0	0	0	0	0	0	0	0	0	0	0
0	0,101126368	0,185684113	0,252046359	0,293794033	0,306812010	0,289827282	0,244466566	0,175102028	0,089235882	0		
0	0,185716123	0,347549633	0,475361001	0,556720139	0,583638414	0,553483529	0,469170091	0,338856295	0,176014518	0		
0	0,252108725	0,475393673	0,652158397	0,765182110	0,803379764	0,763016067	0,648003933	0,469500570	0,245683689	0		
0	0,293854492	0,556752805	0,765182107	0,898817978	0,944559730	0,897934346	0,763467060	0,554216581	0,291357754	0		
0	0,306870364	0,583671075	0,803379761	0,944559730	0,993372560	0,945044918	0,804268499	0,584719229	0,308571029	0		
0	0,289883532	0,553516185	0,763016064	0,897934346	0,945044918	0,899740908	0,766418336	0,558025705	0,295640259	0		
0	0,244554278	0,469236937	0,648038125	0,763501255	0,804302694	0,766452530	0,653617883	0,476747171	0,253830760	0		
0	0,175317995	0,339074559	0,469689119	0,554406119	0,584908540	0,558213598	0,476897556	0,348830372	0,187227178	0		
0	0,088738177	0,175702262	0,245366322	0,291036899	0,308247329	0,295314697	0,253503743	0,186880572	0,102176276	0		
0	0	0	0	0	0	0	0	0	0	0	0	0

3.4.1-расм. **U ning qiymatlari** нинг жадвалдаги қўриниши

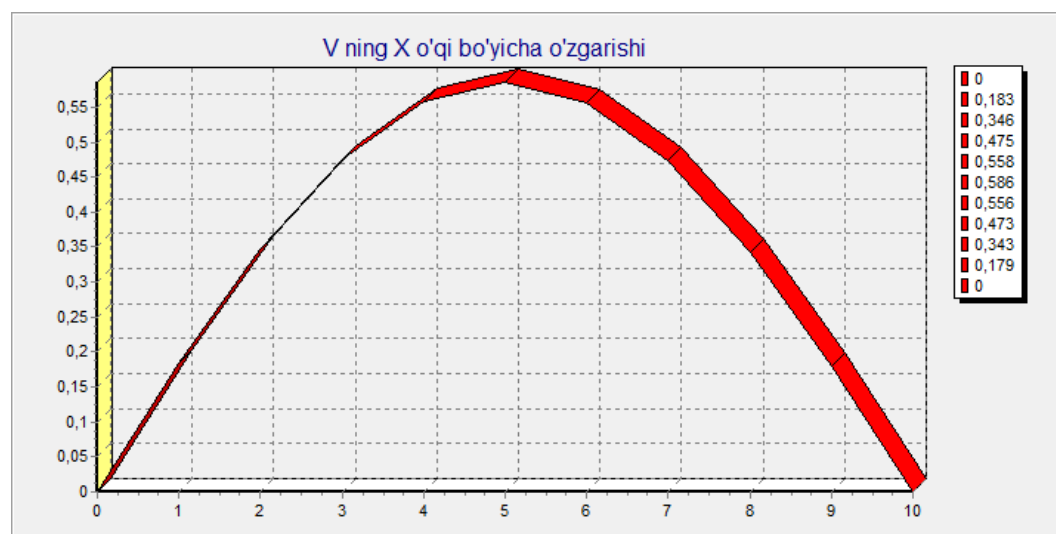
V ning qiymatlari												
0	0	0	0	0	0	0	0	0	0	0	0	0
0	0,105549970	0,188964923	0,253809616	0,293853265	0,305197493	0,286732940	0,240245674	0,170251471	0,083279559	0		
0	0,188685799	0,349034689	0,475102889	0,554717880	0,580094652	0,548751650	0,463753731	0,333382823	0,170400800	0		
0	0,253491026	0,475047234	0,650036831	0,761460485	0,798422663	0,757308887	0,642139591	0,464172251	0,240747894	0		
0	0,293544309	0,554667643	0,761468760	0,893806578	0,938740337	0,891876030	0,757796443	0,549611962	0,287572033	0		
0	0,304898947	0,580054542	0,798444389	0,938755246	0,987266580	0,939234536	0,799356105	0,581312559	0,306275057	0		
0	0,286437936	0,548718727	0,757341270	0,891904370	0,939249425	0,894746628	0,762747868	0,556167422	0,295027770	0		
0	0,239960051	0,463717276	0,642171625	0,757828238	0,799377211	0,762755530	0,651544417	0,476628994	0,254928568	0		
0	0,169322758	0,332610087	0,463427334	0,548868133	0,580558519	0,555399514	0,475870870	0,349754743	0,189691914	0		
0	0,084483256	0,171263843	0,241609536	0,288427854	0,307122398	0,295865076	0,255776242	0,190787565	0,106473675	0		
0	0	0	0	0	0	0	0	0	0	0	0	0

3.4.2-расм. **V ning qiymatlari** нинг жадвалдаги қўриниши

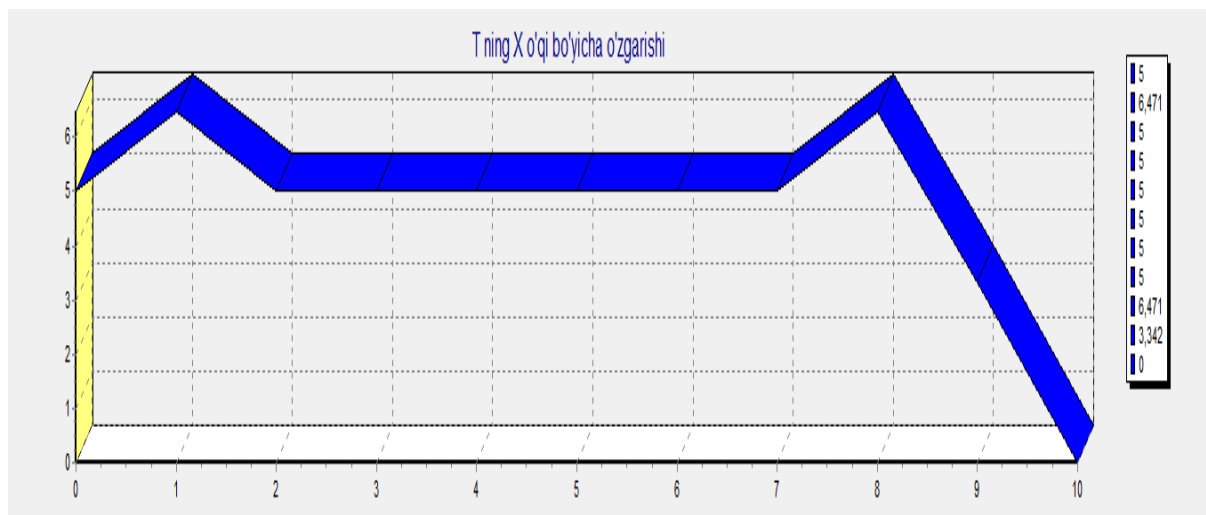
3.3.1, 3.3.2-расмларда келтирилган натижалар асосида қуйидаги график қўринишдаги натижаларни оламиз.



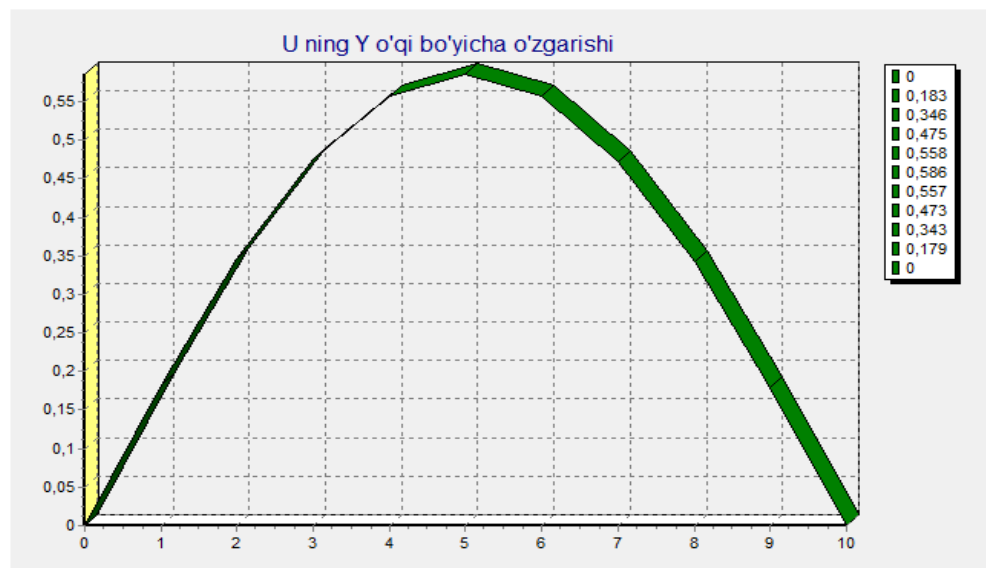
3.4.3-расм. **U** нинг **X** ўқи бўйича ўзгариши



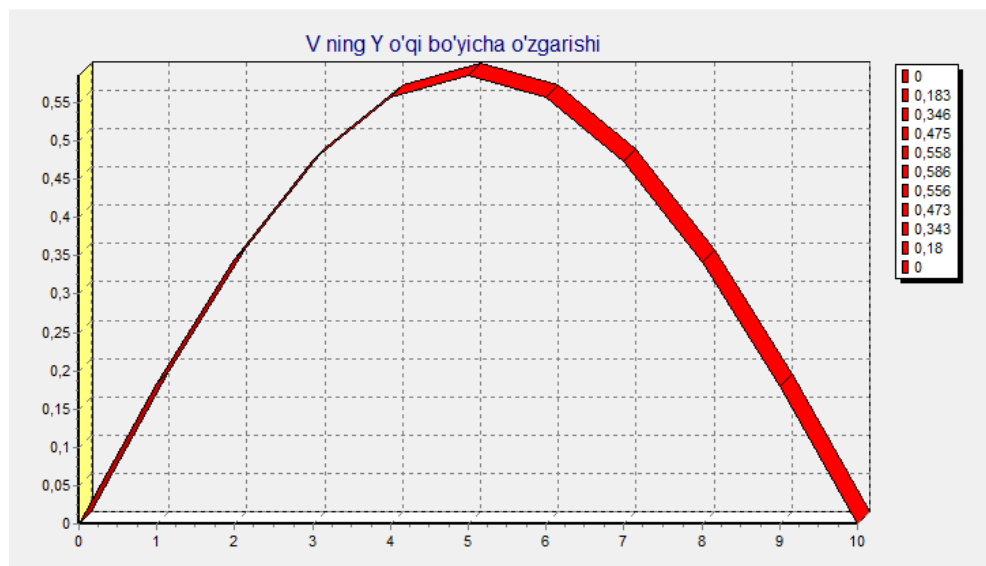
3.4.4-расм. **V** нинг **X** ўқи бўйича ўзгариши



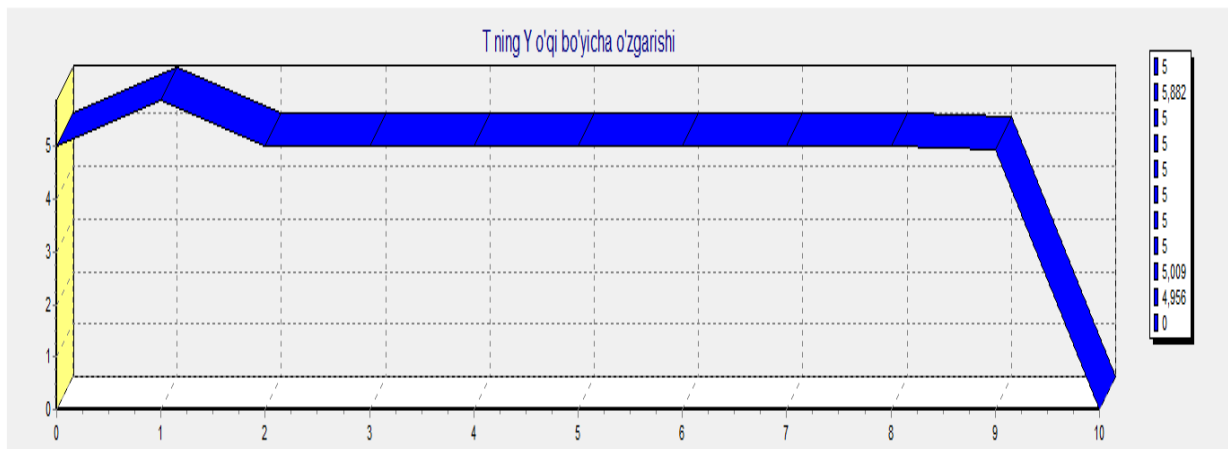
3.4.5-расм. **T** нинг **X** ўқи бўйича ўзгариши



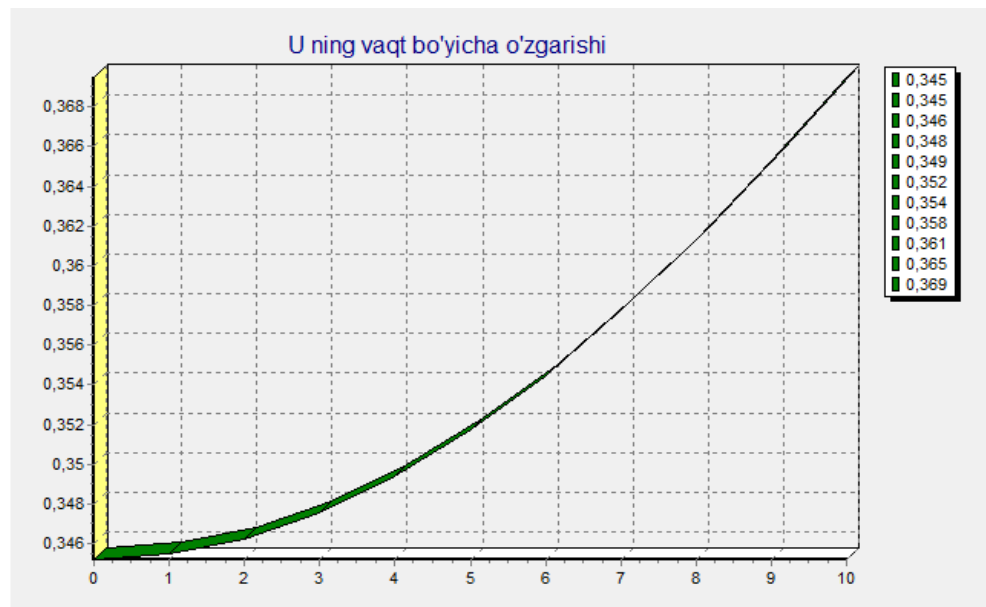
3.4.6-расм. **U** нинг **Y** ўқи бўйича ўзгариши



3.4.7-расм. **U** нинг **Y** ўқи бўйича ўзгариши



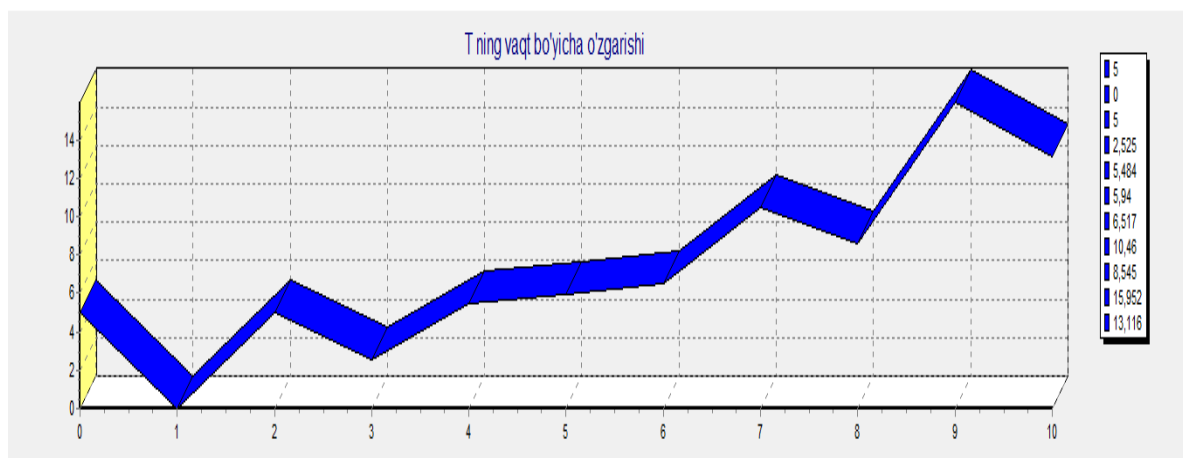
3.4.8-расм. **T** нинг **Y** ўқи бўйича ўзгариши



3.4.9-расм. **U** нинг вақт бўйича ўзгариши

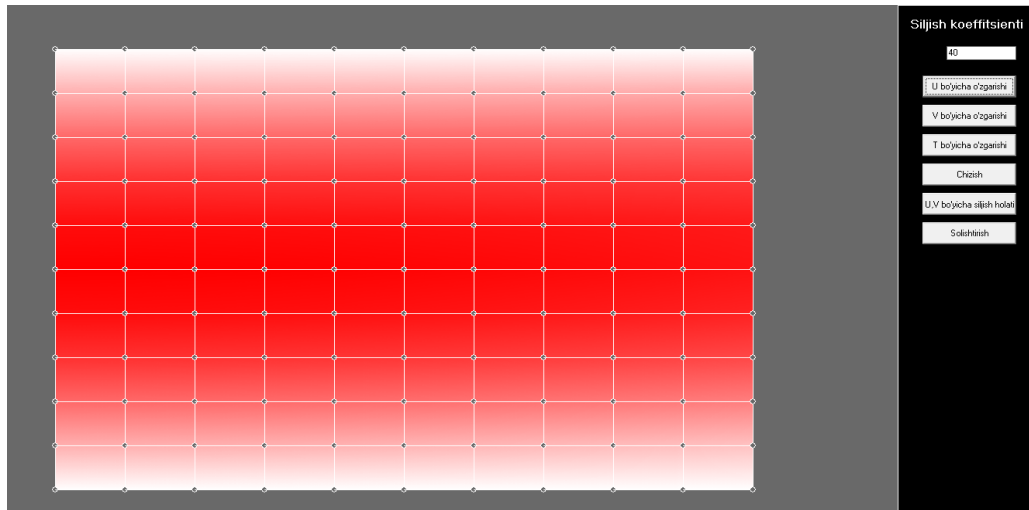


3.4.10-расм. **V** нинг вақт бўйича ўзгариши

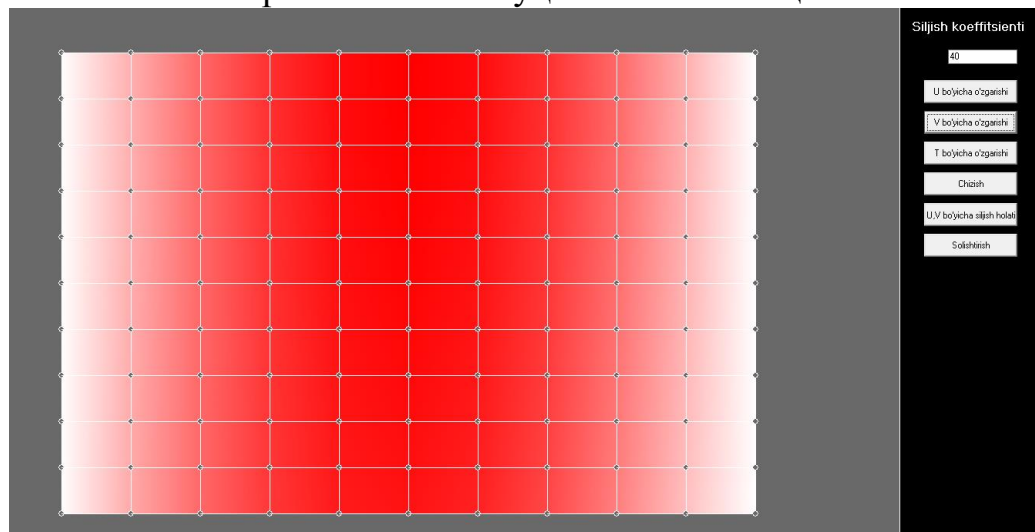


3.4.11-расм. **T** нинг вақт бўйича ўзгариши

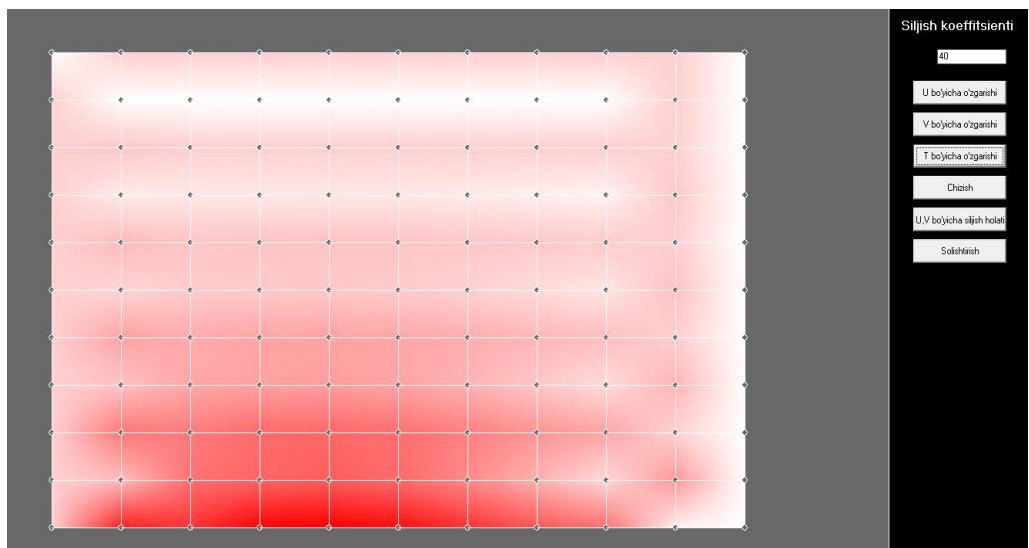
U,V,T ларнинг икки ўлчовли квадрат пластинадаги ўзгариш холатини қўйидагича кўришимиз мумкин.



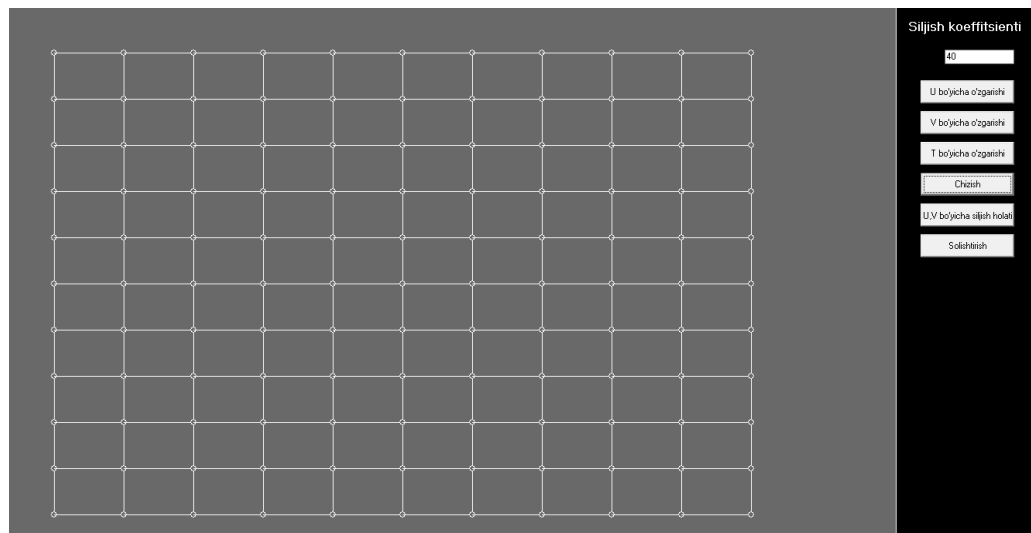
3.4.12-расм. **U** нинг **X** ўқига нисбаттан ҳолати



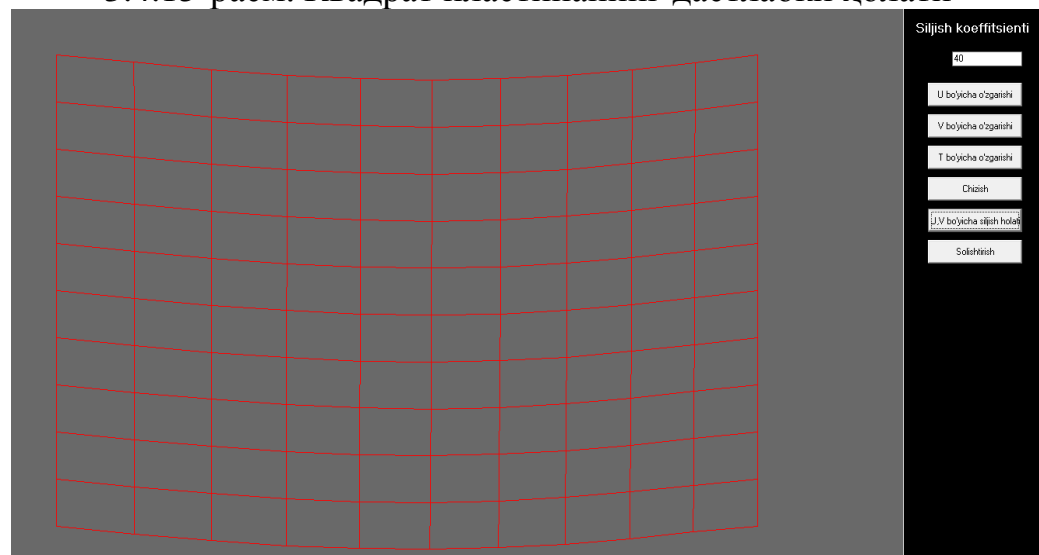
3.4.13-расм. **V** нинг **Y** ўқига нисбаттан ҳолати



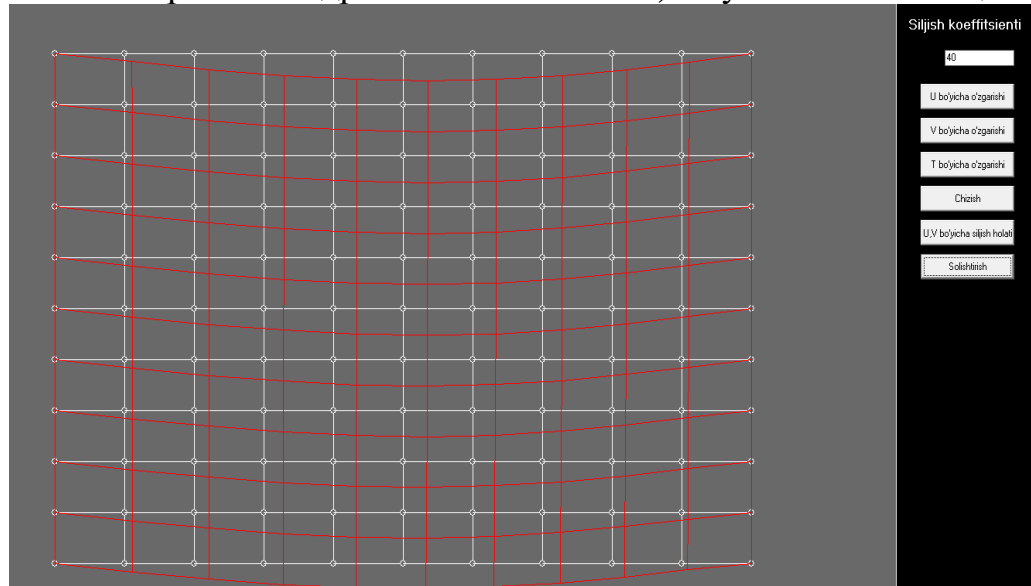
3.4.14-расм. **T** нинг квадрат пластинага таъсир қилиш ҳолати



3.4.15-расм. Квадрат пластинанинг дастлабки ҳолати



3.4.16-расм. Квадрат пластинанинг U, V бўйича силжиш ҳолати



3.4.17-расм. Квадрат пластинани температура таъсир қилгандаги ҳолати билан солиштириш

III-боб бўйича хуроса

Диссертация ишининг учинчи бобида анизотроп жисмлар учун икки ўлчовли термоэластик масалани сонли ечишнинг программа таъминоти ёритилган. Бобнинг биринчи параграфида диссертация ишининг олдинги бобларида яратилган алгоритм асосида яратилган композит материалларнинг кучланганлик ҳолатини аниқлашни программа таъминотининг асосий этаплари келтирилган. Иккинчи ва учинчи параграфларда яратилган программа таъминотига киритилувчи ўзгармас сонларнинг тавсифи келтирилган ва шу сонлар асосида ҳисоблаш экспериментидан олинган натижалар таҳлил қилинган.

ХУЛОСА

Диссертацияда трансверсал изотроп жисмлар учун икки ўлчовли термоэластик боғлиқ масалани сонли моделлаштириш масаласи кўрилди.

Мазкур ишда амалга оширилган ишларнинг қисқача хулосаси сифатида қуидагиларни келтирамиз:

- трансверсал изотроп ва изотроп жисмлар учун боғлиқ ва боғлиқ бўлмаган масалаларини аниқловчи муносабатлар бир икки ва уч ўлчовли холатларда батафсил келтирилган;
- бошланғич ва чегаравий шартларда берилган масалани деформацияларда ёки кўчишларда ифодалаш муносабатлари хам келтирилган;
- трансверсал изотроп жисмлар учун икки ўлчовли термоэластик масаланинг умумий ҳолда қўйилиши ва бу тенгламалардаги хусусий ҳосилали дифференциал тенгламаларни чекли айрмали тенгламаларга келтириш қоидалари келтирилган;
- чекли айрмали тенгламалардан фойдаланиб номаълум функцияниг тақрибий қийматларини ҳисоблаш имконини берувчи рекурент формулалар келтириб чиқарилган ва улардан фойдаланиб масалани ечиш алгоритми яратилган;
- келтирилган алгоритм асосида C++ Builder 6 дастурлаш мухитида квадрат пластина учун термоэластик боғлиқ бўлган масалани икки ўлчовли холатига ошкор айрмали схемаларни тадбиқ қилиб, масалани ечишнинг дастурий таъминоти яратилган.

Албаттта амалиётда учрайдиган кўплаб масалаларни математик моделлари термоэластик ёки термопластик боғлиқ ва боғлиқ бўлмаган масалаларни ўрганишга келтирилади, келгусидаги илмий тадқиқотларимизни боғлиқ масалаларга қўшимча ташқи таъсирлар орқали унинг ҳолатини ўзгаришини, уларни сонли ечиш усулларини ўрганиш ва бу масалаларнинг дастурий таъминотини яратиш билан давом эттирамиз.

ФОЙДАЛАНИЛГАН АДАБИЁТЛАР

I. Ўзбекистон Республикаси қонунлари

1. Ўзбекистон Республикасининг “Таълим тўғрисида” ги 1997-йил 29-августдаги 464-І-сонли қонуни.
2. Ўзбекистон Республикасининг “Кадрлар тайёрлаш миллий дастури”, 1997- йил.
3. Ўзбекистон Республикасининг “Ахборотлаштириш тўғрисида” ги 2003-йил 11- декабрдаги қонуни.
4. Ўзбекистон Республикасининг «Ахборотлаштириш тўғрисида»ги қонуни // Ўзбекистон Республикаси Олий Мажлисининг Ахборотномаси. -2004. -№1-2. -10-м.

II. Ўзбекистон Республикаси Президентининг фармонлари ва қарорлари, Вазирлар Маҳкамасининг қарорлари

5. Ўзбекистон Республикаси Президентининг 2012 йил 24 июлдаги ПҚ-4456-сон “Олий малакали илмий ва илмий-педагог кадрлар тайёрлаш ва аттестациядан ўтказиш тизимини янада такомиллаштириш тўғрисида”ги фармони.
6. Вазирлар Маҳкамасининг 2007-йил 10-сентабрдаги 190-сон “Ўзбекистон Республикаси Олий таълим тизимида магистратура фаолиятини янада такомиллаштириш, унинг самарадорлигини ошириш чора-тадбирлари тўғрисида” ги қарори.

III. Асосий адабиётлар

7. Новацкий В. Динамические задачи термоупругости. -М.: Мир, 1970. - 256 с.
8. Ильюшин А.А. Победря Б.Е. Основы математической теории термовязко упругости. -М.: Наука, 1980. -280 с.

9. Победря Б. Е. Численные методы в теории упругости и пластичности. -М.: МГУ, 1996. – 343 с.
10. Коваленко А.Д. Основы термоупругости.-Киев: Наукова думка, 1970. -273 с.
11. Коваленко А.Д. Введение в термоупругость.-Киев, 1965. -204 с.
12. Коваленко А.Д. Термоупругость.Издательское объединение «Вища школа» Головное издательство.-Киев: Наукова думка, 1975. -216 с.
13. Самарский А.А. Теория разностных схем. - М.: Наука, 1983. - 646 с.
14. Архангельский А.Я. C++ Builder 6. Справочное пособие. Книга 1. Язык C++. –М.: Бином-Пресс, 2002 г.-544 с.
15. Б. Страуструп. Язык программирования C++. Специальное издание.- М.: ООО «Бином-Пресс», 2006.-1104 с.

IV.Қўшимча адабиётлар

16. М.И.Исройлов Ҳисоблаш усуллари,-Тош: Иқтисод-Молия, 2008. -320 с.
17. Биргер И.А. Теория пластического течения в неизотермических нагрузлениях // Изв. АН СССР, Механика, -1964. -№ 3. -С.78-83.
18. Нахди П.М. Соотношение между напряжениями и деформациями в пластичности и термопластичности. Сб. Пер. Механика, 1962. 1, 71, - С.87-133.
19. Коротких Ю.Г., Ивлевич С.М. О решении двумерной термопластической задачи при сложном нагружении. В кн: Тепловые напряжения в элементах конструкций // -Киев. АН УССР, 1963. Том 3, 1.
20. Новацкий В. Теория упругости. -М.: Мир, 1975. -872 с.
21. Глушаков С.В., Ковал А.В., Смирнов С.В. Язык программирование C++: Учебный курс // Харков: Фолио; М.: ООО «Издательство АСТ», 2001.- 500 с.
22. Культин Н.Б. C++Builder в задачах и примерах.-СПб.: БХВ-Петербург, 2005.-336 с.

V. Илмий журналлардаги мақола ва тезислар.

- 23.Халдигитов А.А., Адамбаев У.Э. Математические модели пластичности и термопластичности в пространствах деформаций и напряжений // Вестник НУУз, Мех-мат серия. -2006. -№2. -С. 75-78.
- 24.Каландаров А.А., Адамбаев У., Худазаров Р.С. Связанные и несвязанные задачи термо-упруго-пластичности // Вестник НУУз, мех-мат серия.-2010.-№3.-С.92-95.
- 25.Адамбаев У.Э., Абдураимов Д.Э.Трансверсал изотроп жисмлар учун икки ўлчовли термоэластик боғлиқ масалани сонли моделлаштириш // Университет тезислар түплами. -2013.-Б.4-5.
- 26.Адамбаев У.Э., Абдураимов Д.Э.Трансверсал изотроп жисмлар учун икки ўлчовли термоэластик боғлиқ масалани сонли ечиш // Университет тезислар түплами. -2014.-Б.68-71.
- 27.Павличко В.М. Решение трехмерной термопластической задачи при простых нагрузлениях // Проблемы прочности, 1986. №1. -С. 77-81.

VI. Интернет сайtlари

28. www.lex.uz
29. www.mathinst.uz
30. www.math-net.ru
31. www.5fan.ru
32. www.esate.ru

ИЛОВАЛАР

1-илова. Асосий ишчи ойнанинг дастур матни.

```
//-----
#include <vcl.h>
#include <iostream.h>
#include <conio.h>
#include <stdio.h>
#include <string.h>
#include <math.h>
#pragma hdrstop
#include "Unit1.h"
#include "Unit2.h"
#include "Unit3.h"
//-----
#pragma package(smart_init)
#pragma resource "*.*dfm"
TForm1 *Form1;
double ***u,***v,***t;
int n;
//-----
__fastcall TForm1::TForm1(TComponent* Owner)
    : TForm(Owner)
{
}
//-----
void __fastcall TForm1::Chiqish1Click(TObject *Sender)
{
    this->Close();
}
```

```

//-----
void __fastcall TForm1::Natija1Click(TObject *Sender)
{
    double *x,*y,*z;
    double c1111,c1212,c1122,c2222,h1,h2,tao,T0,gx;
    double lyambda,lyambda11,lyambda22,myu,alfa,beta11,beta22,ce,ro;
    n = Form1->Edit16->Text.ToInt();
    u = new double**[n+1];
    v = new double**[n+1];
    t = new double**[n+1];
    x = new double[n+1];
    y = new double[n+1];
    z = new double[n+1];
    for(int i=0;i<=n;i++){
        u[i] = new double*[n+1];
        v[i] = new double*[n+1];
        t[i] = new double*[n+1];
        for(int j=0;j<=n;j++){
            u[i][j] = new double[n+1];
            v[i][j] = new double[n+1];
            t[i][j] = new double[n+1];
        }
    }
    for(int i=0;i<=n;i++){
        for(int j=0;j<=n;j++){
            for(int h=0;h<=n;h++){
                u[i][j][h] = v[i][j][h] = t[i][j][h] = 0.0;
            }
        }
    }
}

```

```

lyambda11 = this->Edit1->Text.ToDouble();
lyambda22 = this->Edit2->Text.ToDouble();
beta11 = this->Edit3->Text.ToDouble();
beta22 = this->Edit4->Text.ToDouble();
c1111 = this->Edit5->Text.ToDouble();
c1122 = this->Edit6->Text.ToDouble();
c1212 = this->Edit7->Text.ToDouble();
c2222 = this->Edit8->Text.ToDouble();
ro = this->Edit9->Text.ToDouble();
ce = this->Edit10->Text.ToDouble();
T0 = this->Edit11->Text.ToDouble();
h1 = this->Edit12->Text.ToDouble();
h2 = this->Edit13->Text.ToDouble();
tao = this->Edit14->Text.ToDouble();
//a = this->Edit15->Text.ToDouble();
x[0] = y[0] = z[0] = 0.0;
for(int i=1;i<=n;i++){
    x[i] = x[0] + i*h1;
    y[i] = y[0] + i*h2;
    z[i] = z[0] + i*tao;
}
for(int i=1;i<n;i++){
    for(int j=1;j<n;j++){
        u[i][j][0] = sin(3.14*x[i])*sin(3.14*y[j]);
        v[i][j][0] = sin(3.14*y[j])*sin(3.14*x[i]);
        t[i][j][0] = T0;
    }
}
for(int j=1;j<=n;j++){
    for(int k=1;k<=n;k++){

```

```

u[0][j][k] = 0;
u[n-1][j][k] = 0;
v[0][j][k] = 0;
v[n-1][j][k] = 0;
t[0][j][k] = T0;
t[n-1][j][k] = T0;
}

}

for(int i=1;i<=n;i++){
    for(int k=1;k<=n;k++){
        u[i][0][k] = 0;
        u[i][n-1][k] = 0;
        v[i][0][k] = 0;
        v[i][n-1][k] = 0;
        t[i][0][k] = T0;
        t[i][n-1][k] = T0;
    }
}

int k=0;
for(int i=1;i<n;i++){
    for(int j=1;j<n;j++){
        u[i][j][k+1] = (tao*tao/ro*(c1111*(u[i+1][j][k]-2*u[i][j][k]+u[i-1][j][k])/(h1*h1)+c1212*(u[i][j+1][k] - 2*u[i][j][k]+u[i][j-1][k])/(h2*h2)+(c1212+c1122)*(v[i+1][j+1][k]-v[i-1][j+1][k]-v[i+1][j-1][k]+v[i-1][j-1][k])/(4*h1*h2)-beta11*(t[i+1][j][k]-t[i-1][j][k])/(2*h1))+2*u[i][j][k])/2;
        v[i][j][k+1] = (tao*tao/ro*(c2222*(v[i][j+1][k]-2*v[i][j][k]+v[i][j-1][k])/(h2*h2)+c1212*(v[i+1][j][k] - 2*v[i][j][k]+v[i-1][j][k])/(h1*h1)+(c1212+c1122)*(u[i+1][j+1][k]-u[i-1][j+1][k]-u[i+1][j-1][k]+u[i-1][j-1][k])/(4*h1*h2)-beta11*(t[i+1][j][k]-t[i-1][j][k])/(2*h1))+2*v[i][j][k])/2;
    }
}

```

```

1][k]+u[i-1][j-1][k])/(4*h1*h2)-beta22*(t[i][j+1][k]-t[i][j-
1][k])/(2*h2))+2*v[i][j][k])/2;
}

}

for(k=1;k<n;k++){
    for(int i=1;i<n;i++){
        for(int j=1;j<n;j++){
            t[i][j][k+1] = 2*tao/ce*(lyambda11*(t[i+1][j][k]-2*t[i][j][k]+t[i-
1][j][k])/(h1*h1)+lyambda22*(t[i][j+1][k]-2*t[i][j][k]+t[i][j-1][k])/(h2*h2)-
t[i][j][k]*(beta11*(u[i+1][j][k+1]-u[i-1][j][k+1]-u[i+1][j][k-1]+u[i-1][j][k-
1])/(4*h1*tao)+beta22*(v[i][j+1][k+1])-u[i][j-1][k+1]-u[i][j+1][k-1]+u[i][j-
1][k-1])/(4*h2*tao)))+t[i][j][k];
        }
    }
}

for(k=1;k<n;k++){
    for(int i=1;i<n;i++){
        for(int j=1;j<n;j++){
            u[i][j][k+1] = (tao*tao/ro*(c1111*(u[i+1][j][k]-2*u[i][j][k]+u[i-
1][j][k])/(h1*h1)+c1212*(u[i][j+1][k] - 2*u[i][j][k]+u[i][j-
1][k])/(h2*h2)+(c1212+c1122)*(v[i+1][j+1][k]-v[i-1][j+1][k]-v[i+1][j-
1][k]+v[i-1][j-1][k])/(4*h1*h2)-beta11*(t[i+1][j][k]-t[i-
1][j][k])/(2*h1))+2*u[i][j][k])-u[i][j][k-1];
            v[i][j][k+1] = (tao*tao/ro*(c2222*(v[i][j+1][k]-2*v[i][j][k]+v[i][j-
1][k])/(h2*h2)+c1212*(v[i+1][j][k] - 2*v[i][j][k]+v[i-
1][j][k])/(h1*h1)+(c1212+c1122)*(u[i+1][j+1][k]-u[i-1][j+1][k]-u[i+1][j-
1][k]+u[i-1][j-1][k])/(4*h1*h2)-beta22*(t[i][j+1][k]-t[i][j-
1][k])/(2*h2))+2*v[i][j][k]) - v[i][j][k-1];
        }
    }
}

```

```

for(int i=1;i<n;i++){
    for(int j=1;j<n;j++){
        t[i][j][k+1]=2*tao/ce*(lyambda11*(t[i+1][j][k]-2*t[i][j][k]+t[i-
1][j][k])/(h1*h1)+lyambda22*(t[i][j+1][k]-2*t[i][j][k]+t[i][j-1][k]/(h2*h2)-
t[i][j][k]*(beta11*(u[i+1][j][k+1]-u[i-1][j][k+1]-u[i+1][j][k-1]+u[i-1][j][k-
1])/(4*h1*tao)+beta22*(v[i][j+1][k+1])-u[i][j-1][k+1]-u[i][j+1][k-1]+u[i][j-
1][k-1])/(4*h2*tao)))+t[i][j][k-1];
    }
}
String str="";
this->StringGrid1->RowCount = n+1;
this->StringGrid2->RowCount = n+1;
this->StringGrid1->ColCount = n+1;
this->StringGrid2->ColCount = n+1;
for(k=3;k<5;k++){
    for(int j=0;j<=n;j++){
        str = "";
        for(int i=0;i<=n;i++){
            //str = str + FloatToStr(v[i][j][k]) + " ";
            if(k == 3){
                this->StringGrid1->Cells[i][j] = FloatToStr(u[i][j][k]);
                //Form2->Chart1->Series[0]->AddXY(v[i][j][k],t[i][j][k],"",clRed);
            }
            else{
                this->StringGrid2->Cells[i][j] = FloatToStr(v[i][j][k]);
                //Form2->Chart1->Series[0]->AddXY(v[i][j][k],t[i][j][k],"",clGreen);
            }
        }
    }
}

```

```

    }

}

//-----

void __fastcall TForm1::X1Click(TObject *Sender)
{
    n = Form1->Edit16->Text.ToInt();
    Form2->Chart1->Series[0]->Clear();
    Form2->Chart2->Series[0]->Clear();
    Form2->Chart3->Series[0]->Clear();
    Form2->Chart1->Title->Text->Clear();
    Form2->Chart2->Title->Text->Clear();
    Form2->Chart3->Title->Text->Clear();
    for(int k=0;k<=n;k++){
        Form2->Chart1->Series[0]->AddXY(k,u[k][2][2], "", clGreen);
        Form2->Chart2->Series[0]->AddXY(k,v[k][2][2], "", clRed);
        Form2->Chart3->Series[0]->AddXY(k,t[k][2][2], "", clBlue);
    }
    String u = "U ning X o\qi bo\yicha o\zgarishi";
    String v = "V ning X o\qi bo\yicha o\zgarishi";
    String t = "T ning X o\qi bo\yicha o\zgarishi";
    Form2->Chart1->Title->Text->Add(u);
    Form2->Chart2->Title->Text->Add(v);
    Form2->Chart3->Title->Text->Add(t);
    Form2->Top = 0;
    Form2->Left = 0;
    Form2->Width = ClientWidth;
    Form2->Height = ClientHeight;
    Form2->ShowModal();
}

//-----

void __fastcall TForm1::Graphic2Click(TObject *Sender)

```

```

{      n = Form1->Edit16->Text.ToInt();
      Form2->Chart1->Series[0]->Clear();
      Form2->Chart2->Series[0]->Clear();
      Form2->Chart3->Series[0]->Clear();
      Form2->Chart1->Title->Text->Clear();
      Form2->Chart2->Title->Text->Clear();
      Form2->Chart3->Title->Text->Clear();
      for(int k=0;k<=n;k++){
          Form2->Chart1->Series[0]->AddXY(k,u[2][k][2],"",clGreen);
          Form2->Chart2->Series[0]->AddXY(k,v[2][k][2],"",clRed);
          Form2->Chart3->Series[0]->AddXY(k,t[2][k][2],"",clBlue);
      }
      String u = "U ning Y o\qi bo\yicha o\zgarishi";
      String v = "V ning Y o\qi bo\yicha o\zgarishi";
      String t = "T ning Y o\qi bo\yicha o\zgarishi";
      Form2->Chart1->Title->Text->Add(u);
      Form2->Chart2->Title->Text->Add(v);
      Form2->Chart3->Title->Text->Add(t);
      Form2->Top = 0;
      Form2->Left = 0;
      Form2->Width = ClientWidth;
      Form2->Height = ClientHeight;
      Form2->>ShowModal();
  }
//-----
void __fastcall TForm1::t1Click(TObject *Sender)
{
  n = Form1->Edit16->Text.ToInt();
  Form2->Chart1->Series[0]->Clear();
  Form2->Chart2->Series[0]->Clear();
}

```

```

Form2->Chart3->Series[0]->Clear();
Form2->Chart1->Title->Text->Clear();
Form2->Chart2->Title->Text->Clear();
Form2->Chart3->Title->Text->Clear();

for(int k=0;k<=n;k++){
    Form2->Chart1->Series[0]->AddXY(k,u[2][2][k],"",clGreen);
    Form2->Chart2->Series[0]->AddXY(k,v[2][2][k],"",clRed);
    Form2->Chart3->Series[0]->AddXY(k,t[2][2][k],"",clBlue);
}

String u = "U ning vaqt bo\'yicha o\'zgarishi";
String v = "V ning vaqt bo\'yicha o\'zgarishi";
String t = "T ning vaqt bo\'yicha o\'zgarishi";
Form2->Chart1->Title->Text->Add(u);
Form2->Chart2->Title->Text->Add(v);
Form2->Chart3->Title->Text->Add(t);
Form2->Top = 0;
Form2->Left = 0;
Form2->Width = ClientWidth;
Form2->Height = ClientHeight;
Form2->ShowModal();
}

//-----
void __fastcall TForm1::FormClose(TObject *Sender, TCloseAction &Action)
{
    for(int i=0;i<n;i++){
        for(int j=0;j<n;j++){
            delete[] u[i][j];
            delete[] v[i][j];
            delete[] t[i][j];
        }
    }
}

```

```

        delete[] u[i];
        delete[] v[i];
        delete[] t[i];
    }
    delete[] u;
    delete[] v;
    delete[] t;
}
//-----
void __fastcall TForm1::Saqlash1Click(TObject *Sender)
{
    n = n = Form1->Edit16->Text.ToInt();
    FILE* stream;
    stream = fopen("natija.txt","w+t");
    for(int k=3;k<5;k++){
        for(int j=0;j<=n;j++){
            for(int i=0;i<=n;i++){
                fprintf(stream,"%.3f\t", u[i][j][k]);
            }
            fprintf(stream,"\n");
        }
        fprintf(stream,"\n");
    }
    fclose(stream);
}
//-----
void __fastcall TForm1::Ochish1Click(TObject *Sender)
{
    system (string("natija.txt").c_str());
}

```

```
//-----
void __fastcall TForm1::FormMouseDown(TObject *Sender, TMouseButton Button,
TShiftState Shift, int X, int Y)
{
    this->Close();
}

//-----
void __fastcall TForm1::KORISH1Click(TObject *Sender)
{
    Form3->Show();
}
```

2-илова. Даастурдаги графикларнинг бошланғич матни.

```
//-----
#include <vcl.h>
#pragma hdrstop
#include "Unit2.h"
//-----
#pragma package(smart_init)
#pragma resource "* .dfm"
TForm2 *Form2;
//-----
__fastcall TForm2::TForm2(TComponent* Owner)
: TForm(Owner)
{
}
//-----
void __fastcall TForm2::FormKeyDown(TObject *Sender, WORD &Key,
TShiftState Shift)
{
    this->Close();
}
//-----
```

З-илова. Олинган жисмнинг дастлабки ҳолати ва унга темпратура таъсир етган сўнг, ҳолатини ифодаловчи графикининг дастурй матни келтирилган.

```
//-----
#include <vcl.h>
#include <math.h>
#pragma hdrstop
#include "Unit1.h"
#include "Unit3.h"

//-----
#pragma package(smart_init)
#pragma resource "* .dfm"
TForm3 *Form3;
double ***arrayU,***arrayV, ***arrayT;
double *T,*x,*y,pmaxp,pmaxm;
double delta=20;

//-----
__fastcall TForm3::TForm3(TComponent* Owner)
    : TForm(Owner)
{
    Form3->Top=30;
}

//-----
void boy(a(double *x,double *y,double *p)
{
    if(fabs(x[0]-x[1])<=1 && fabs(x[1]-x[2])<=1 &&
       fabs(x[2]-x[3])<=1 && fabs(x[3]-x[0])<=1 &&
       fabs(y[0]-y[1])<=1 && fabs(y[1]-y[2])<=1 &&
       fabs(y[2]-y[3])<=1 && fabs(y[3]-y[0])<=1)
{
```

```

if(p[0]>0)
{
/* ShowMessage("x[0] " + x[0]);
ShowMessage("\ny[0] " + y[0]);
ShowMessage("\np[0] " + p[0]);
ShowMessage("\nnpmaxp " + pmaxp); */
//ShowMessage(y[0]);
Form3->Canvas->Pixels[x[0]][y[0]]=(TColor)RGB(255,255*(1-
p[0]/pmaxp),255*(1-p[0]/pmaxp));
Form3->Canvas->Pixels[x[1]][y[1]]=(TColor)RGB(255,255*(1-
p[0]/pmaxp),255*(1-p[0]/pmaxp));//(TColor)RGB(p[0]/pmaxp*255,0,0);
Form3->Canvas->Pixels[x[2]][y[2]]=(TColor)RGB(255,255*(1-
p[0]/pmaxp),255*(1-p[0]/pmaxp));//(TColor)RGB(p[0]/pmaxp*255,0,0);
Form3->Canvas->Pixels[x[3]][y[3]]=(TColor)RGB(255,255*(1-
p[0]/pmaxp),255*(1-p[0]/pmaxp));//(TColor)RGB(p[0]/pmaxp*255,0,0);
return;
}
if(p[0]<0)
{
Form3->Canvas->Pixels[x[0]][y[0]]=(TColor)RGB(255*(1-
p[0]/pmaxm),255*(1-p[0]/pmaxm),255);
Form3->Canvas->Pixels[x[1]][y[1]]=(TColor)RGB(255*(1-
p[0]/pmaxm),255*(1-p[0]/pmaxm),255);//(TColor)RGB(0,0,p[0]/pmaxm*255);
Form3->Canvas->Pixels[x[2]][y[2]]=(TColor)RGB(255*(1-
p[0]/pmaxm),255*(1-p[0]/pmaxm),255);//(TColor)RGB(0,0,p[0]/pmaxm*255);
Form3->Canvas->Pixels[x[3]][y[3]]=(TColor)RGB(255*(1-
p[0]/pmaxm),255*(1-p[0]/pmaxm),255);//(TColor)RGB(0,0,p[0]/pmaxm*255);
return;
}
if(p[0]==0)

```

```

{
Form3->Canvas->Pixels[x[0]][y[0]]=(TColor)RGB(255,255,255);
Form3->Canvas-
>Pixels[x[1]][y[1]]=(TColor)RGB(255,255,255);//(TColor)RGB(p[0]/pmaxp*2
55,0,0);
Form3->Canvas-
>Pixels[x[2]][y[2]]=(TColor)RGB(255,255,255);//(TColor)RGB(p[0]/pmaxp*2
55,0,0);
Form3->Canvas-
>Pixels[x[3]][y[3]]=(TColor)RGB(255,255,255);//(TColor)RGB(p[0]/pmaxp*2
55,0,0);
return;
}
}

double xmax=x[0],xmin=x[0],ymax=y[0],ymin=y[0];
for( int i=0;i<4;i++)
{
if (xmax<x[i]) xmax=x[i];
if (xmin>x[i]) xmin=x[i];
if (ymax<y[i]) ymax=y[i];
if (ymin>y[i]) ymin=y[i];
}

double *_x; _x=new double [4];
double *_y; _y=new double [4];
double *_p; _p=new double [4];
// for (long kk=0;kk<=100000;kk++);
_x[0]=x[0]; _y[0]=y[0];
_x[1]=(x[0]+x[1])/2; _y[1]=(y[0]+y[1])/2;
_x[2]=(x[0]+x[1]+x[2]+x[3])/4; _y[2]=(y[0]+y[1]+y[2]+y[3])/4;
_x[3]=(x[0]+x[3])/2; _y[3]=(y[0]+y[3])/2;

```

```

//*****=====


_p[0]=p[0];



_p[1]=(p[0]+p[1])/2;



_p[2]=(p[0]+p[1]+p[2]+p[3])/4;



_p[3]=(p[0]+p[3])/2;



boya(_x,_y,_p);



//===== 2 uchun =====



_x[0]=x[1]; _y[0]=y[1];



_x[1]=(x[1]+x[2])/2; _y[1]=(y[1]+y[2])/2;



_x[2]=(x[0]+x[1]+x[2]+x[3])/4; _y[2]=(y[0]+y[1]+y[2]+y[3])/4;



_x[3]=(x[0]+x[1])/2; _y[3]=(y[0]+y[1])/2;


//*****=====



_p[0]=p[1];



_p[1]=(p[1]+p[2])/2;



_p[2]=(p[0]+p[1]+p[2]+p[3])/4;



_p[3]=(p[0]+p[1])/2;



boya(_x,_y,_p);



//===== 3 uchun =====



_x[0]=x[2]; _y[0]=y[2];



_x[1]=(x[2]+x[3])/2; _y[1]=(y[2]+y[3])/2;



_x[2]=(x[0]+x[1]+x[2]+x[3])/4; _y[2]=(y[0]+y[1]+y[2]+y[3])/4;



_x[3]=(x[1]+x[2])/2; _y[3]=(y[1]+y[2])/2;


//*****=====



_p[0]=p[2];



_p[1]=(p[2]+p[3])/2;



_p[2]=(p[0]+p[1]+p[2]+p[3])/4;



_p[3]=(p[1]+p[2])/2;



boya(_x,_y,_p);



//===== 4 uchun =====



_x[0]=x[3]; _y[0]=y[3];


```

```

_x[1]=(x[3]+x[0])/2;           _y[1]=(y[3]+y[0])/2;
_x[2]=(x[0]+x[1]+x[2]+x[3])/4; _y[2]=(y[0]+y[1]+y[2]+y[3])/4;
_x[3]=(x[2]+x[3])/2;           _y[3]=(y[2]+y[3])/2;
//****************************************************************************

_p[0]=p[3];
_p[1]=(p[3]+p[0])/2;
_p[2]=(p[0]+p[1]+p[2]+p[3])/4;
_p[3]=(p[2]+p[3])/2;
boya(_x,_y,_p);

}

void clear(){
Form3->Canvas->Brush->Color=clBlack;
int w = Form3->Width;
int h = Form3->Height;
Form3->Canvas->FillRect(Rect(0,0,w,h));
Form3->Label1->Top = 16;
Form3->Label1->Left = 16;
Form3->Label1->Font->Color = clWhite;
Form3->Label1->Caption = "Siljish koeffitsienti";
}

void chizish(){
int n = Form1->Edit16->Text.ToInt();
//Form3->Image1->Canvas->Rectangle(0,0,w,h);
Form3->Canvas->Pen->Color = clWhite;
for(int i = 1;i <= n+1;i++)
    for(int j = 1;j <= n+1;j++){
        if(j == 1)
            Form3->Canvas->MoveTo(i*90,j*60);
        else
            Form3->Canvas->LineTo(i*90,j*60);
    }
}

```

```

    }

    for(int i = 1;i <= n+1;i++)
        for(int j = 1;j <= n+1;j++){
            if(j == 1)
                Form3->Canvas->MoveTo(j*90,i*60);
            else
                Form3->Canvas->LineTo(j*90,i*60);
            Form3->Canvas->Ellipse(j*90-4,i*60-4,j*90+4,i*60+4);
        }
    }

void chizishU(){
    int n = Form1->Edit16->Text.ToInt();
    double x[4],y[4];
    double p[4];
    clear();
    chizish();
    pmaxp=arrayU[3][0][0];pmaxm=arrayU[3][0][0];
    for(int i=0;i<=n;i++)
        for(int j=0;j<=n;j++)
    {
        if(arrayU[3][i][j]>0)
            if(arrayU[3][i][j]>pmaxp) pmaxp=arrayU[3][i][j];
        if(arrayU[3][i][j]<0)
            if(arrayU[3][i][j]<pmaxm) pmaxm=arrayU[3][i][j];
        //ShowMessage(T[i]);
    }
    for(int i = 1;i <= n;i++)
        for(int j = 1;j <= n;j++){
            x[0] = (j)*90;
            x[1] = (j+1)*90;

```

```

x[2] = (j+1)*90;
x[3] = (j)*90;
y[0] = (i+1)*60;
y[1] = (i+1)*60;
y[2] = (i)*60;
y[3] = (i)*60;
p[0] = arrayU[3][i][j-1];
p[1] = arrayU[3][i][j];
p[2] = arrayU[3][i-1][j];
p[3] = arrayU[3][i-1][j-1];
boya(x,y,p);
}

chizish();
}

void chizishV(){
    int n = Form1->Edit16->Text.ToInt();
    double x[4],y[4];
    double p[4];
    clear();
    chizish();
    pmaxp=arrayV[3][0][0];pmaxm=arrayV[3][0][0];
    for(int i=0;i<=n;i++)
        for(int j=0;j<=n;j++)
    {
        if(arrayV[3][i][j]>0)
            if(arrayV[3][i][j]>pmaxp) pmaxp=arrayV[3][i][j];
        if(arrayV[3][i][j]<0)
            if(arrayV[3][i][j]<pmaxm) pmaxm=arrayV[3][i][j];
        //ShowMessage(T[i]);
    }
}

```

```

for(int i = 1;i <= n;i++)
    for(int j = 1;j <= n;j++){
        x[0] = (j)*90;
        x[1] = (j+1)*90;
        x[2] = (j+1)*90;
        x[3] = (j)*90;
        y[0] = (i+1)*60;
        y[1] = (i+1)*60;
        y[2] = (i)*60;
        y[3] = (i)*60;
        p[0] = arrayV[3][j-1][i];
        p[1] = arrayV[3][j][i];
        p[2] = arrayV[3][j][i-1];
        p[3] = arrayV[3][j-1][i-1];
        boya(x,y,p);
    }
chizish();
}

void chizishT(){
    int n = Form1->Edit16->Text.ToInt();
    double x[4],y[4];
    double p[4];
    clear();
    chizish();
    pmaxp=arrayT[3][0][0];pmaxm=arrayT[3][0][0];
    for(int i=0;i<=n;i++)
        for(int j=0;j<=n;j++)
    {
        if(arrayT[3][i][j]>0)
            if(arrayT[3][i][j]>pmaxp) pmaxp=arrayT[3][i][j];
    }
}

```

```

if(arrayT[3][i][j]<0)
if(arrayT[3][i][j]<pmaxm) pmaxm=arrayT[3][i][j];
//ShowMessage(T[i]);
}

for(int i = 1;i <= n;i++)
for(int j = 1;j <= n;j++){
    x[0] = (j)*90;
    x[1] = (j+1)*90;
    x[2] = (j+1)*90;
    x[3] = (j)*90;
    y[0] = (i+1)*60;
    y[1] = (i+1)*60;
    y[2] = (i)*60;
    y[3] = (i)*60;
    p[0] = arrayT[3][j-1][i];
    p[1] = arrayT[3][j][i];
    p[2] = arrayT[3][j][i-1];
    p[3] = arrayT[3][j-1][i-1];
    boya(x,y,p);
}

chizish();
}

void TForm3::uv(){
Canvas->Pen->Color=clGreen;
int n = Form1->Edit16->Text.ToInt();
for(int i=1;i<=n;i++)
for(int j=1;j<=n;j++)
element_draw(i,j);
}

void TForm3::element_draw(int i,int j){

```

```

Canvas->MoveTo(90*i+arrayU[3][i-1][j-1]*delta,60*j+arrayV[3][i-1][j-
1]*delta);
Canvas->LineTo(90*(i+1)+arrayU[3][i][j-1]*delta,60*(j)+arrayV[3][i][j-
1]*delta);
Canvas-
>LineTo(90*(i+1)+arrayU[3][i][j]*delta,60*(j+1)+arrayV[3][i][j]*delta);
Canvas->LineTo(90*(i)+arrayU[3][i-1][j]*delta,60*(j+1)+arrayV[3][i-
1][j]*delta);
Canvas->LineTo(90*(i)+arrayU[3][i-1][j-1]*delta,60*(j)+arrayV[3][i-1][j-
1]*delta);
}

void hisoblash(){
    double *x,*y,*z;
    int n;
    double c1111,c1212,c1122,c2222,h1,h2,tao,T0,gx;
    double lyambda,lyambda11,lyambda22,myu,alfa,beta11,beta22,ce,ro;
    n = Form1->Edit16->Text.ToInt();
    arrayU = new double**[n+1];
    arrayV = new double**[n+1];
    arrayT = new double**[n+1];
    x = new double[n+1];
    y = new double[n+1];
    z = new double[n+1];
    for(int i=0;i<=n;i++){
        arrayU[i] = new double*[n+1];
        arrayV[i] = new double*[n+1];
        arrayT[i] = new double*[n+1];
        for(int j=0;j<=n;j++){
            arrayU[i][j] = new double[n+1];
            arrayV[i][j] = new double[n+1];

```

```

arrayT[i][j] = new double[n+1];
}

}

for(int i=0;i<=n;i++){
    for(int j=0;j<=n;j++){
        for(int h=0;h<=n;h++){
            arrayU[i][j][h] = arrayV[i][j][h] = arrayT[i][j][h] = 0.0;
        }
    }
}

lyambda11 = Form1->Edit1->Text.ToDouble();
lyambda22 = Form1->Edit2->Text.ToDouble();
beta11 = Form1->Edit3->Text.ToDouble();
beta22 = Form1->Edit4->Text.ToDouble();
c1111 = Form1->Edit5->Text.ToDouble();
c1122 = Form1->Edit6->Text.ToDouble();
c1212 = Form1->Edit7->Text.ToDouble();
c2222 = Form1->Edit8->Text.ToDouble();
ro = Form1->Edit9->Text.ToDouble();
ce = Form1->Edit10->Text.ToDouble();
T0 = Form1->Edit11->Text.ToDouble();
h1 = Form1->Edit12->Text.ToDouble();
h2=Form1->Edit13->Text.ToDouble();
tao = Form1->Edit14->Text.ToDouble();
//a =this->Edit15->Text.ToDouble();
x[0] = y[0] = z[0] = 0.0;
for(int i=1;i<=n;i++){
    x[i] = x[0] + i*h1;
    y[i] = y[0] + i*h2;
    z[i] = z[0] + i*tao;
}

```

```

}

for(int i=1;i<n;i++){
    for(int j=1;j<n;j++){
        arrayU[i][j][0] = sin(3.14*x[i])*sin(3.14*y[j]);
        arrayV[i][j][0] = sin(3.14*y[j])*sin(3.14*x[i]);
        arrayT[i][j][0] = T0;
    }
}

for(int j=1;j<=n;j++){
    for(int k=1;k<=n;k++){
        arrayU[0][j][k] = 0;
        arrayU[n-1][j][k] = 0;
        arrayV[0][j][k] = 0;
        arrayV[n-1][j][k] = 0;
        arrayT[0][j][k] = T0;
        arrayT[n-1][j][k] = T0;
    }
}

for(int i=1;i<=n;i++){
    for(int k=1;k<=n;k++){
        arrayU[i][0][k] = 0;
        arrayU[i][n-1][k] = 0;
        arrayV[i][0][k] = 0;
        arrayV[i][n-1][k] = 0;
        arrayT[i][0][k] = T0;
        arrayT[i][n-1][k] = T0;
    }
}

int k=0;
for(int i=1;i<n;i++){

```

```

for(int j=1;j<n;j++){
    arrayU[i][j][k+1] = (tao*tao/ro*(c1111*(arrayU[i+1][j][k]-
2*arrayU[i][j][k]+arrayU[i-1][j][k])/(h1*h1)+c1212*(arrayU[i][j+1][k]-
2*arrayU[i][j][k]+arrayU[i][j-
1][k])/(h2*h2)+(c1212+c1122)*(arrayV[i+1][j+1][k]-arrayV[i-1][j+1][k]-
arrayV[i+1][j-1][k]+arrayV[i-1][j-1][k])/(4*h1*h2)-beta11*(arrayT[i+1][j][k]-
arrayT[i-1][j][k])/(2*h1))+2*arrayU[i][j][k])/2;

    arrayV[i][j][k+1] = (tao*tao/ro*(c2222*(arrayV[i][j+1][k]-
2*arrayV[i][j][k]+arrayV[i][j-1][k])/(h2*h2)+c1212*(arrayV[i+1][j][k]-
2*arrayV[i][j][k]+arrayV[i-
1][j][k])/(h1*h1)+(c1212+c1122)*(arrayU[i+1][j+1][k]-arrayU[i-1][j+1][k]-
arrayU[i+1][j-1][k]+arrayU[i-1][j-1][k])/(4*h1*h2)-beta22*(arrayT[i][j+1][k]-
arrayT[i][j-1][k])/(2*h2))+2*arrayV[i][j][k])/2;

}
}

for(k=1;k<n;k++){
    for(int i=1;i<n;i++){
        for(int j=1;j<n;j++){
            arrayT[i][j][k+1] = 2*tao/ce*(lyambda11*(arrayT[i+1][j][k]-
2*arrayT[i][j][k]+arrayT[i-1][j][k])/(h1*h1)+lyambda22*(arrayT[i][j+1][k]-
2*arrayT[i][j][k]+arrayT[i][j-1][k])/(h2*h2)-
arrayT[i][j][k]*(beta11*(arrayU[i+1][j][k+1]-arrayU[i-1][j][k+1]-
arrayU[i+1][j][k-1]+arrayU[i-1][j][k-
1])/(4*h1*tao)+beta22*(arrayV[i][j+1][k+1]-arrayU[i][j-1][k+1]-
arrayU[i][j+1][k-1]+arrayU[i][j-1][k-1])/(4*h2*tao)))+arrayT[i][j][k];
        }
    }
}

for(k=1;k<n;k++){
    for(int i=1;i<n;i++){

```

```

        for(int j=1;j<n;j++){
            arrayU[i][j][k+1] = (tao*tao/ro*(c1111*(arrayU[i+1][j][k]-
2*arrayU[i][j][k]+arrayU[i-1][j][k])/(h1*h1)+c1212*(arrayU[i][j+1][k]-
2*arrayU[i][j][k]+arrayU[i][j-
1][k])/(h2*h2)+(c1212+c1122)*(arrayV[i+1][j+1][k]-arrayV[i-1][j+1][k]-
arrayV[i+1][j-1][k]+arrayV[i-1][j-1][k])/(4*h1*h2)-beta11*(arrayT[i+1][j][k]-
arrayT[i-1][j][k])/(2*h1))+2*arrayU[i][j][k])-arrayU[i][j][k-1];
            arrayV[i][j][k+1] = (tao*tao/ro*(c2222*(arrayV[i][j+1][k]-
2*arrayV[i][j][k]+arrayV[i][j-1][k])/(h2*h2)+c1212*(arrayV[i+1][j][k]-
2*arrayV[i][j][k]+arrayV[i-
1][j][k])/(h1*h1)+(c1212+c1122)*(arrayU[i+1][j+1][k]-arrayU[i-1][j+1][k]-
arrayU[i+1][j-1][k]+arrayU[i-1][j-1][k])/(4*h1*h2)-beta22*(arrayT[i][j+1][k]-
arrayT[i][j-1][k])/(2*h2))+2*arrayV[i][j][k]) - arrayV[i][j][k-1];
        }
    }
    for(int i=1;i<n;i++){
        for(int j=1;j<n;j++){
            arrayT[i][j][k+1]=2*tao/ce*(lyambda11*(arrayT[i+1][j][k]-
2*arrayT[i][j][k]+arrayT[i-1][j][k])/(h1*h1)+lyambda22*(arrayT[i][j+1][k]-
2*arrayT[i][j][k]+arrayT[i][j-1][k]/(h2*h2)-
arrayT[i][j][k]*(beta11*(arrayU[i+1][j][k+1]-arrayU[i-1][j][k+1]-
arrayU[i+1][j][k-1]+arrayU[i-1][j][k-
1])/(4*h1*tao)+beta22*(arrayV[i][j+1][k+1])-arrayU[i][j-1][k+1]-
arrayU[i][j+1][k-1]+arrayU[i][j-1][k-1])/(4*h2*tao)))+arrayT[i][j][k-1];
        }
    }
}
void __fastcall TForm3::FormCreate(TObject *Sender)
{

```

```

Form3->Left = 0;
Form3->Top = 0;
clear();
hisoblash();

}

//-----
void __fastcall TForm3::FormResize(TObject *Sender)
{
    chizish();

}

//-----
void __fastcall TForm3::Button1Click(TObject *Sender)
{
    chizishU();

}

//-----
void __fastcall TForm3::BitBtn1Click(TObject *Sender)
{
    delta=Edit1->Text.ToDouble();
    clear();
    uv();
}

//-----
void __fastcall TForm3::Button2Click(TObject *Sender)
{
    chizishV();
}

//-----
void __fastcall TForm3::Button3Click(TObject *Sender)
{
}

```

```
    clear();
    chizish();
}

//-----
void __fastcall TForm3::Button4Click(TObject *Sender)
{
    chizishT();
}

//-----
void __fastcall TForm3::Button5Click(TObject *Sender)
{
    clear();
    delta=Edit1->Text.ToDouble();
    chizish();
    uv();
}
//-----
```